

## بررسی شیمی کانی‌های پریدوتیت‌های گوشه افیولیت لوگر (جنوب‌غرب کابل - افغانستان)

غلام‌حسین نظری، قدرت ترابی \* و محمود خلیلی

گروه زمین‌شناسی، دانشکده علوم، دانشگاه اصفهان، اصفهان، ایران

### چکیده

مجموعه افیولیتی لوگر در کمربند افیولیتی جنوب‌شرق افغانستان در محدوده بلوك کابل گسترش دارد و بخشی از افیولیت‌های نتوتیس در سیستم کوهراibi آلب-هیمالیا با سن جاگیری ائوسن محسوب می‌شود. کانی‌های الیوین، ارتوبیروکسن، کلینوبیروکسن و اسپینل سازنده‌های اصلی پریدوتیت‌های گوشه افیولیت لوگر هستند. الیوین‌های واحدهای مختلف سنگی اغلب سرپانتینی شده‌اند، اما الیوین‌های سالم از نوع فورسترتیت هستند. ارتوبیروکسن و کلینوبیروکسن‌های واحدهای مختلف سنگی پریدوتیت‌های گوشه افیولیت لوگر، بهترتبی از نوع انستاباتیت ( $Mg# = 0.961 - 0.972$ ) و دیوپسید ( $Mg# = 0.999 - 0.976$ ) هستند. Cr# اسپینل‌های ورمیکولار و بی‌شکل تا نیمه‌شکل دار موجود در لرزولیت و هارزبورژیت‌ها نسبتاً بالا بوده، بهترتبی  $0.547 - 0.625$  با رنگ قهوه‌ای مایل به قرمز هستند. Cr# اسپینل‌های نیمه‌شکل دار تا خودشکل دونیت‌ها ( $0.477$ )، به علت دارا بودن مقدار بیشتر  $Al_2O_3$  و مقدار کمتر  $Cr_2O_3$  نسبت به سایر واحدهای سنگی گوشه افیولیت لوگر، کمتر است. Cr# اسپینل‌های کاملاً خودشکل و قرمز تیره رنگ کرومیتیت ( $0.633$ ) است. پریدوتیت‌های مورد بررسی در این مطالعه گوشه‌ای و به گوشه زیر پوسته اقیانوسی متعلق هستند. محتوای کم  $Al_2O_3$  ارتوبیروکسن‌ها و کلینوبیروکسن‌ها و  $Na_2O$  کلینوبیروکسن‌ها نشان‌دهنده درجه بالای ذوب‌بخشی واحدهای سنگی گوشه افیولیت لوگر است. کانی‌های موجود در دونیت‌ها در بسیاری از ویژگی‌های شیمیایی و عنصری هماهنگی رفتاری با کانی‌های مشابه در لرزولیت و هارزبورژیت‌ها نشان نمی‌دهند. اسپینل‌های دونیت‌ها از لحاظ شیمیایی شباهت زیادتری به اسپینل گدازه‌های بالشی نسبت به اسپینل لرزولیت و هارزبورژیت‌ها نشان می‌دهند. این دونیت‌ها ویژگی‌های دونیت‌های حاصل از ذوب‌بخشی را نشان نمی‌دهند و بیشتر نمایانگر مکان هندسی جریان مذاب تجمع یافته در گوشه هستند.

**واژه‌های کلیدی:** ائوسن، افغانستان، افیولیت لوگر، پریدوتیت گوشه

### مقدمه

می‌توانند اطلاعات مهمی درباره ماهیت فرایندهای

ممکن برای ذوب‌بخشی و منشأ مذاب و محیط

تکتونیکی - ماقمایی که افیولیت‌ها شکل گرفته‌اند، ارائه

ترکیب سنگ‌های گوشه موجود در افیولیت‌ها که

به عنوان باقیمانده‌های ذوب‌بخشی تصور می‌شوند،

برخورد مایل این قاره، سبب تغییراتی در روندهای ساختمانی و یک سری گسل خودگی و چین خودگی‌ها شده است. این مجموعه بلوك‌ها و قطعات، توسط زمین درزهایی که در طول آنها افیولیت‌ها دیده می‌شوند، از همدیگر جدا شده‌اند. افیولیت‌ها در ظاهر تنها بقایای پوسته اقیانوسی زیر رانده شده هستند که خود نشان‌دهنده فضاهای اقیانوسی با عرض نامشخص هستند.

اولترامافیک‌های افغانستان را بر اساس زمان تشکیل به سه گروه عمده تقسیم می‌کنند:

- ۱- اولترامافیک‌های پالئوزوییک که در دوره کربنیفر تحتانی و پرمین به وجود آمده‌اند؛
- ۲- اولترامافیک‌های مژوزوییک که در دوره کرتاسه تشکیل شده‌اند؛
- ۳- اولترامافیک‌های سنوزوییک که تشکیل آنها با دوره ائوسن ارتباط دارد.

بهترین مدل برای تکتونیک سنوزوییک انتهای غربی کمربند هیمالیا، نفوذ رأس مقاوم و محکم درون یک (Tapponnier and Molnar, 1976) در این مدل، رأس محکم در شمال غربی قاره هند قرار دارد، که هم‌اکنون توسط گسل چمن در غرب و گسل کاراکوروم در شرق محدود شده است. اگر چه این گوه یا رأس در طول زمان تغییر یافته است، بر اساس ترسیم‌بندی امروزی همان گوه پامیر است (Tapponnier *et al.*, 1981).

زمین‌درز ایندوس – تسانگپو (Indus – Tsangpo) بین هند و تبت با دو زیر کمربند افیولیتی نزدیک کابل و خوست در شرق افغانستان هم‌خوانی دارد. هر دو مجموعه افیولیتی بین کرتاسه بالایی و ائوسن زیرین توسط مسدود شدن دو زون فرورانش به سمت شمال تشکیل شده‌اند (Tapponnier *et al.*, 1981).

کنند. افیولیت‌ها می‌توانند در پشت‌های میان اقیانوسی (spreading MOR)، مراکز گسترش پشت قوس centers Back-arc) و طی فرایندهای تکتونیکی زون Supra-Subduction Zone (Miyashiro, 1975; Pearce *et al.*, 1984) به وجود آیند (پریدوتیت‌های گوشته افیولیت‌ها، اطلاعات مستقیمی درباره تحولات ژئوشیمیایی گوشته بالایی فراهم می‌آورند. یکی از ابزارهای مورد استفاده برای بررسی منشأ سنگ‌ها، شیمی کانی‌های موجود در آنهاست که از طریق آنالیز میکروپریوب و محاسبات فرمول ساختمانی آنها امکان پذیر می‌شود.

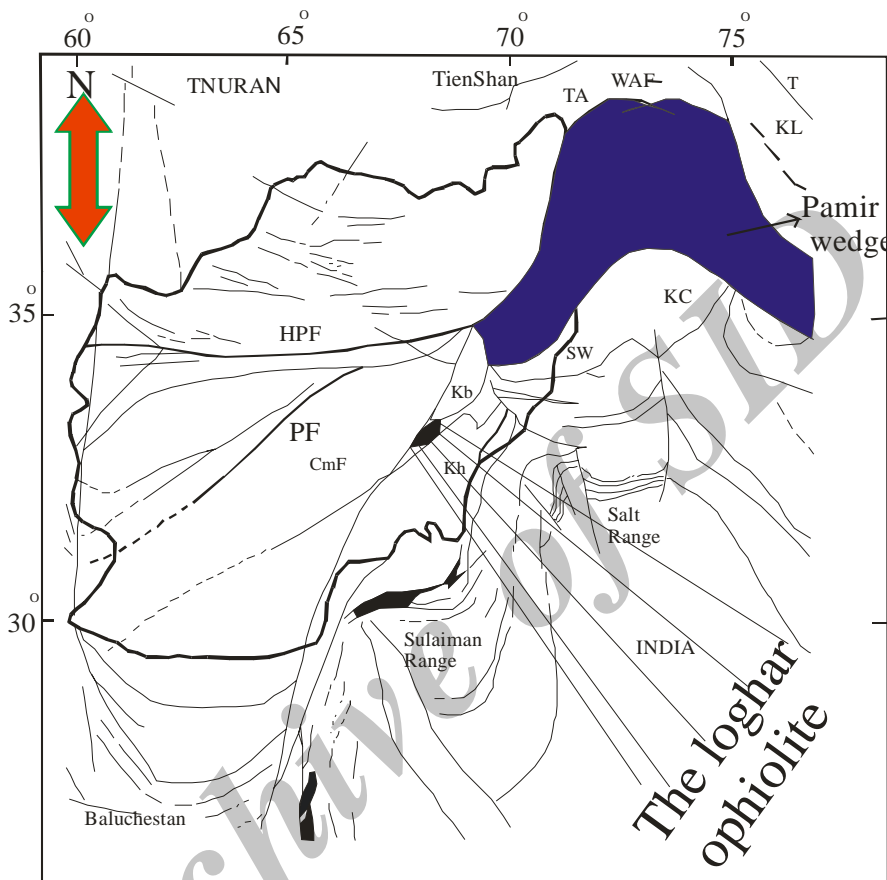
از آنجایی که تا کنون بر روی پریدوتیت‌های افیولیت لوگر مطالعه پترولوزی انجام نشده است، در این مطالعه، سعی بر آن است که با مطالعه شیمی کانی‌های موجود در واحدهای مختلف سنگی پریدوتیت‌های گوشته افیولیت لوگر و استفاده از دیاگرام‌های ژئوشیمی مناسب، ماهیت و نوع کانی‌های موجود در این پریدوتیت‌ها و منشأ تشکیل این پریدوتیت‌ها مشخص شود و همچنین، دما و فشار تعادلی این پریدوتیت‌ها تخمین زده شوند.

### زمین‌شناسی منطقه

از نظر زمین‌شناسی، ساختار فعلی کشور افغانستان در مژوزوییک شکل گرفته است. اوایل مژوزوییک، پانگه آ شروع به شکستن به دو تکه عمده نموده است: ۱- لوراسیا در شمال دریای تیتیس؛ ۲- گندوانا در جنوب. توده‌های خشکی کوچک‌تری از گندوانا مشتق شده و به سوی شمال در دریای تیتیس حرکت کرده‌اند (Schindler, 2002). و به‌طور مایل با توده قاره‌ای آسیا برخورد داشته‌اند. آخرین قطعه‌ای که به این مجموعه در حال پیوستن است، بلوك قاره‌ای بزرگ هندوستان است.

جنوب شرقی افغانستان گسترش داشته، همانند دیگر اولترامافیک‌ها، با شکستگی‌های عمیق تکتونیکی مرتبط هستند (شکل ۱).

اولترامافیک‌های سنوزوییک که در اواسن تشکیل شده‌اند، قسمت اعظم اولترامافیک‌های افغانستان را شامل می‌شوند. این سنگ‌ها در زون کابل و قسمت‌های

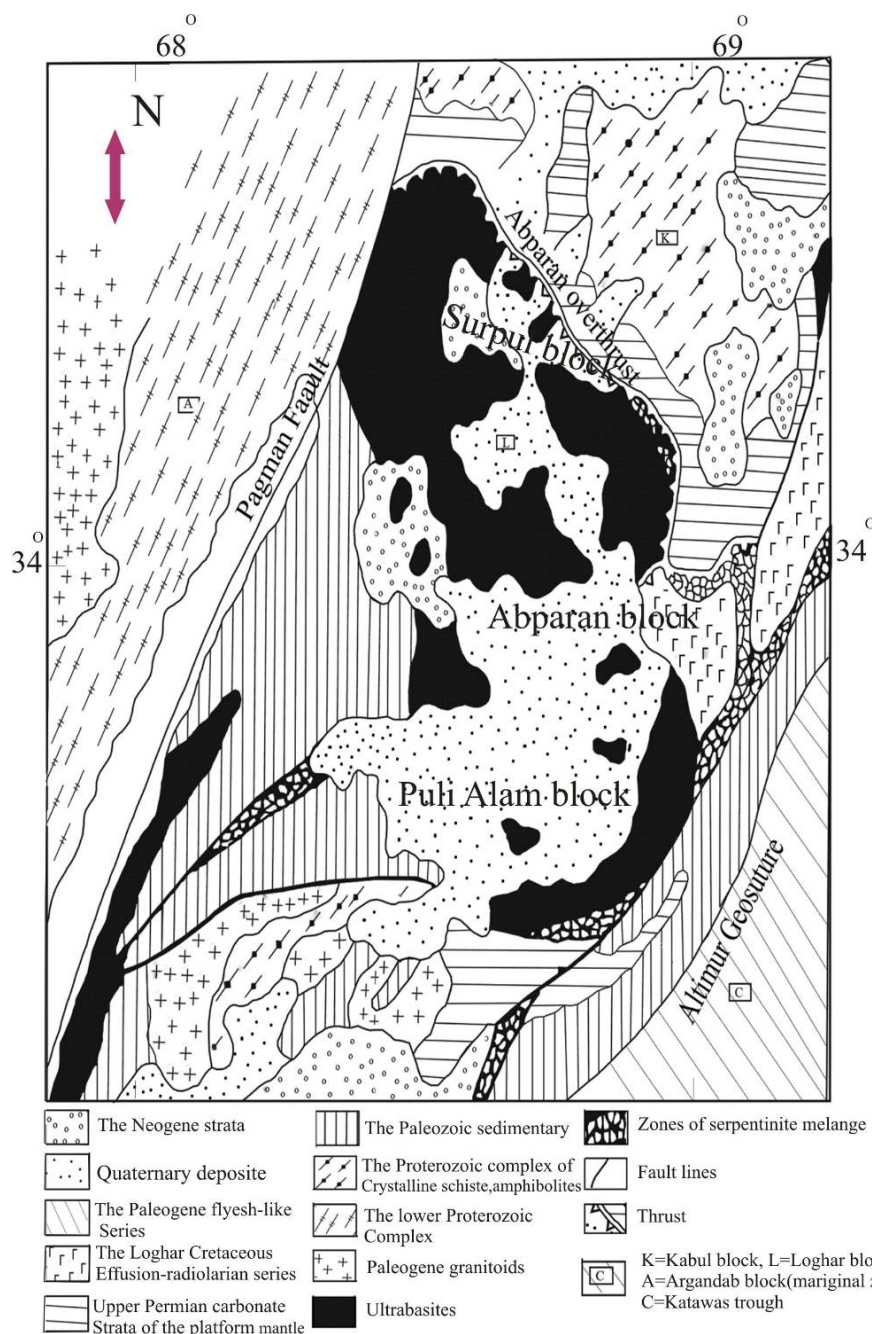


شکل ۱- موقعیت بلوك کابل و افیولیت لوگر در تکتونیک منطقه (برگرفته از Klootwijk (۱۹۷۹)، با تغییرات).

(Ch= Chitral, CCA= Central Crystalline Axis of Himalayas, CmF= Chaman-Moqor Fault, HK= Hidu Kush, HPF= Heart-Panjshir geosuture, Kb= Kabul, Kh= Khost, Ko= Kohistan, KL= Kunlun, Ld= Ladakh, PF= Panjao geosuture, SF= Sarobi fault, Sw= Swat, Ta= Transalai, WAF= Wanch-Akbaytal fault)

مجموعه افیولیتی لاکولیت مانند لوگر که با نام سازند اولترامافیکی لوگر نیز خوانده می‌شود، یکی از بزرگ‌ترین انواع خود در جهان با مساحتی در حدود  $2000 \text{ Km}^2$  است (Shareq *et al.*, 1980) و از نظر سنگ‌شناسی دارای سکانس تقریباً کاملی از سنگ‌های اولترامافیک تا مافیک و اسیدی همراه با واحدهای رسوبی و دگرگونی است (شکل ۲). سنگ‌های اولترامافیک، اصلی‌ترین متشکله این پهنه افیولیتی هستند.

این اولترامافیک‌ها در مقایسه با اولترامافیک‌های کربنیفر تحتانی - پرمین و کرتاسه تحتانی، توده‌های نسبتاً بزرگ‌تری را تشکیل می‌دهند. اولترامافیک‌های سنوزوییک که در میدان چین خورده سلیمان-کرتار گسترش وسیع دارند، در میدان یاد شده کمپلکس متون را تشکیل می‌دهند (Ezbrushikov *et al.*, 1947) کمپلکس متون با توجه به محل جایگیری به سه گروه اولترامافیکی لوگر، التیمور و خوست تفکیک می‌شود.



شکل ۲- شمای زمین‌شناسی و تکتونیکی افیولیت لوگر (موسی‌زی، ۱۳۷۳ با اندکی تغییر).

بلوک سورپل عموماً از دونیت، هارزبورژیت، لرزولیت و ورلیت تشکیل شده است. در قسمت‌های فوقانی این بلوک گابروها دیده می‌شوند. تغییر لیتولوزی اولترابازیکها به گابرو از طریق پیروکسنیت‌های پلازیوکلازدار صورت می‌گیرد (موسی‌زی، ۱۳۷۳).

بر اساس بررسی‌های پتروگرافی، مشخصات ژئوشیمیابی و موقعیت ساختمنی، توده اولترامافیکی لوگر را به سه بلوک سورپل، شامل قسمت‌های شمالی و مرکزی این توده، بلوک آبپران شامل قسمت شرقی و بلوک پل علم شامل قسمت‌های جنوبی تقسیم می‌کنند.

قابل دسترسی هستند و نرم‌افزار Minpet، استفاده شد. خلاصه نویسی‌های به کار برده شده برای نام کانی‌ها در این متن برگرفته از Kretz (۱۹۸۳) است.

زون‌های میلیونیتی شده نیز در این محدوده دیده می‌شوند. هدف از نوشتمن این مقاله، بررسی پتروگرافی و کانی‌شناسی پریدوتیت‌های گوشته موجود در افیولیت لوگر است.

### پتروگرافی

پریدوتیت‌ها تقریباً در همه جای افیولیت لوگر رخنمون دارند و از لحاظ سنگ‌شناسی، شامل هارزبورزیت، لرزولیت و دونیت همراه با نهشته‌های کرومیتیتی هستند.

لرزولیت: کانی‌های تشکیل‌دهنده این سنگ‌ها الیوین، ارتوپیروکسن، کلینوپیروکسن و کانی فرعی اسپینل کروم‌دار هستند که تحت شرایط گوشته، بر اثر فرآیندهای تکتونیکی، گاهی به صورت شکسته و در برخی موارد خرد شده دیده می‌شوند.

بخش‌های زیادی از الیوین‌های موجود در لرزولیت‌های گوشته افیولیت لوگر سرپانتینی شده‌اند، با این حال، بخش‌هایی سالم از آنها را هنوز می‌توان در مقطع پیدا نمود. سرپانتینی شدن این کانی‌ها در بعضی قسمت‌های سنگ، بافت مشبک (Mesh texture) را ایجاد نموده است. کانی‌های سرپانتین حاصل، کریستال‌های الیوین را به صورت جزایری مجرا در بر گرفته‌اند.

ارتوپیروکسن‌های موجود در این سنگ به صورت پورفیروکلاست‌ها نمایان هستند و عموماً تحت تاثیر آلتراسیون به بستیت (Bastite) تبدیل شده‌اند. ارتوپیروکسن‌ها دارای خاموشی موجی نیز هستند. بعضی از ارتوپیروکسن‌ها دارای تیغه‌های جدایشی (Blebby exsolution) از کلینوپیروکسن هستند. این تیغه‌ها معمولاً به موازات رخ ارتوپیروکسن‌ها مشاهده می‌شوند. ارتوپیروکسن‌ها در مقطع میکروسکوپی دارای خوردگی‌هایی شبیه به خوردگی خلیجی (Corrosion

### روش انجام پژوهش

با اینکه نمونه‌برداری سیستماتیک از این واحدها به علت تاثیر فازهای تکتونیکی در منطقه و همچنین، دگرسانی پیشرفته موثر بر این سنگ‌ها کاری مشکل بود، اما سعی شد که از انواع واحدهای سنگی متشکله پریدوتیت‌ها نمونه‌های مناسب با کمترین آثار دگرسانی و ارتباط ژنتیکی نزدیک با یکدیگر انتخاب شوند، تا بتوان مقطع کاملی از سکانس گوشته‌ای این افیولیت را به دست آورد. پس از آماده‌سازی نمونه‌ها به صورت مقطع نازک میکروسکوپی و انجام مطالعات پتروگرافی، به منظور تعیین ترکیب شیمیایی کانی‌ها و محاسبه فرمول ساختمانی آنها، آنالیز نقطه‌ای بر روی الیوین، ارتوپیروکسن، کلینوپیروکسن و اسپینل‌های کروم‌دار سنگ‌های مورد مطالعه، در آزمایشگاه الکترون مایکروپروب دانشگاه اوکلاهما ایالات متحده امریکا انجام شد. آنالیزهای نقطه‌ای کانی‌ها توسط دستگاه الکترون مایکروپروب 50 - CAMECA SX با ولتاژ شتاب دهنده ۲۰kV، جریان ۲۰ nA بر روی نقطه‌های ۲ میکرومتری با زمان شمارش حد اکثر ۳۰ ثانیه صورت گرفت. سپس با استفاده از نتایج به دست آمده، اقدام به محاسبه فرمول ساختمانی کانی‌های فوق الذکر شد. برای تعیین مقدار  $^{+3}\text{Fe}$  از فرمول ارائه شده توسط Droop (۱۹۸۱) استفاده شد. برای محاسبه فرمول ساختمانی کانی‌ها، صفحات گستردۀ (Spread sheets) Jeremy Preston (۱۹۹۹) که به صورت Online در سایت [www.pcu-services.co.uk](http://www.pcu-services.co.uk)

کلسیت‌های ثانویه‌ای دیده می‌شوند. الیوین‌های موجود در هارزبورژیت‌ها اغلب سرپانتینی شده‌اند. این کانی‌ها به صورت بی‌شکل و ریزدانه هستند و هیچ نوع زونینگ و دگرشکلی را نمایش نمی‌دهند. به علت شدیدتر بودن فرایند سرپانتینی شدن در هارزبورژیت‌ها نسبت به لرزولیت‌ها، بافت مشبك در این سنگ‌ها به خوبی توسعه یافته است.

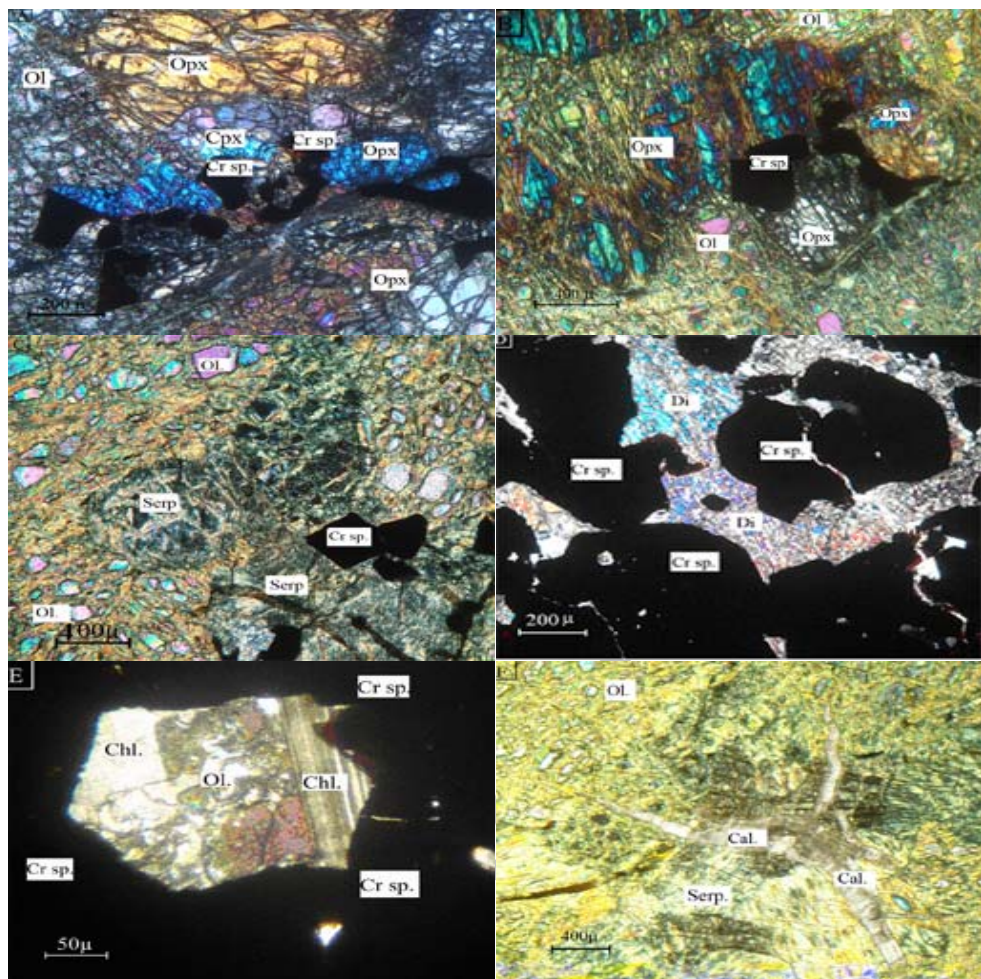
فرورفتگی‌هایی شبیه به خوردگی‌های خلیجی که به وسیله الیوین‌های ریز دانه جایگزینی حاصل از ذوب نامتجانس ارتوبیروکسن‌ها پرشده‌اند، در این سنگ‌ها نیز دیده می‌شود (شکل ۲-B). ارتوبیروکسن‌ها در هارزبورژیت‌ها به صورت پورفیروکلاست بوده، دگرشکلی از خود نشان می‌دهند که نشانه تغییر شکل آنها در دما و فشار بالای گوشه است. در این سنگ‌ها نیز مانند لرزولیت‌ها، ارتوبیروکسن‌ها نسبت به دیگر کانی‌های موجود در سنگ بزرگ‌تر هستند و در زمینه سرپانتینی سنگ پورفیروکلاست‌هایی را تشکیل می‌دهند. کلینوپیروکسن‌های موجود در هارزبورژیت دارای فراوانی کمتری نسبت به لرزولیت‌ها نیمه‌شکل دار (Subhedral) بوده، کلی، در هارزبورژیت‌ها نیمگن‌تیتی هستند. اسپینل‌های کروم‌دار در لرزولیت و هارزبورژیت‌ها تنها در فضای بین کانی‌ها و در اغلب موارد در زمینه سرپانتینی سنگ حضور دارند و در الیوین‌ها و پیروکسن‌ها دیده نمی‌شوند (شکل ۲-A). کلسیت ثانویه که بر اثر فرایندهای ثانویه‌ای بر روی پریدوتیت‌ها تشکیل می‌شود، در همه لرزولیت‌ها دیده می‌شود (شکل ۲-F).

(gulfs) ملايم در حاشيه کانی مشخص هستند. اين فضاهاي فرورفته توسط دانه‌های الیوین جايگزيني حاصل از ذوب نامتجانس ارتوبيروكسن‌ها و در مواردي اسپينل‌های بسيار دانه ريز پر شده‌اند:

$$\text{1 Opx} + \text{Melt} \rightarrow \text{1 Ol} + \text{1 SiO}_2 + \text{جايگزيني}$$

به طور کلي، فضای بين‌بلوري در اين سنگ‌ها نيز توسط الیوین دانه‌ريز جايگزيني، اسپينل کروم‌دار و سرپانتين پر شده است. کلینوپيروكسن‌ها نيز به صورت پورفiroکلاست دیده می‌شوند و نسبت به ارتوبيروكسن‌ها مقاوم‌تر بوده و كمتر از آنها تحت تاثير آلتراسيون قرار گرفته‌اند و از نظر اندازه کوچک‌تر از ارتوبيروكسن‌ها هستند. اسپينل به عنوان کانی فرعی در سنگ حضور دارد. اسپينل‌های موجود در این سنگ‌ها دارای رنگ قهوه‌ای روشن بوده، در مواردي حاشيه‌ای سياه رنگ که ناشی از مگنتيتی شدن اين کانی هاست، در اطراف آنها و داخل شکستگی‌ها حاصل شده است. اين بلورها از لحاظ شکل ظاهري بيشترin به شکل (Unhedral) و در مواردي ورميكولار (Vermicular) هستند. اسپينل‌های کروم‌دار در لرزولیت‌ها تنها در فضای بين کانی‌ها و در اغلب موارد در زمینه سرپانتیني سنگ حضور دارند و در الیوین‌ها و پيروكسن‌ها دیده نمی‌شوند (شکل ۲-A). کلسیت ثانویه که بر اثر فرایندهای ثانویه‌ای بر روی پریدوتیت‌ها تشکیل می‌شود، در همه لرزولیت‌ها دیده می‌شود (شکل ۲-F).

**هارزبورژیت:** هارزبورژیت‌ها بيشترin حجم از پریدوتیت‌های گوشه مجموعه افيوليتی لوگر را به خود اختصاص داده‌اند. در هارزبورژیت، الیوین، سرپانتین‌های حاصل از الیوین، ارتوبيروكسن، بستيت‌های حاصل از ارتوبيروكسن، کانی‌های فرعی کلینوپيروكسن و اسپينل کروم‌دار که در اغلب موارد مگنتيتی شده‌اند و



شکل ۲- تصاویر میکروسکوپی (A) تصویر یک لرزولیت ۴ فازی گوشه را با بافت پورفیروبلاستیک و گرانوبلاستیک نشان می‌دهد. اسپینل به صورت بی‌شکل در اطراف ارتوپیروکسن دیده می‌شود، (B) تصویر یک هارزبورژیت. به شکل گیری الیوین‌ها در خوردگی‌های خلیجی شکل ارتوپیروکسن توجه شود، (C) تصویر اسپینل‌های موجود در یک دونیت که شکل دارتر از اسپینل‌های هارزبورژیت است و در بین سرپانتین‌ها قرار داردند، (D) تصویر دیویسید موجود در یک کرومیت با رخ‌های بسیار واضح آورده شده است، (E) تصویر ادخال در اسپینل یک کرومیت مشاهده می‌شود. در این ادخال الیوین و کلریت با رخ واضح دیده می‌شوند که توسط کروم اسپینل‌ها در برگرفته شده‌اند، (F) رگه‌های کلسیتی ثانویه‌ای. این رگه‌ها در همه واحدهای سنگی گوشه افیولیت لوگر بجز کرومیت‌ها دیده می‌شوند.

حضور دارند. بافت اصلی موجود در این سنگ‌ها پورفیروکلاستیک است ولی به علت شدت سرپانتینی شدن و حضور سرپانتین بافت مشبک را نیز نشان می‌دهند. اسپینل‌های کروم‌دار موجود در دونیت‌ها نسبت به هارزبورژیت‌ها شکل دارتر و تیره‌تر می‌شوند (شکل ۲-C).

**دونیت:** دونیت‌ها در بخش پریدوتیت‌های گوشه حجم کمی را به خود اختصاص می‌دهند. این سنگ‌ها در گات سرپانتینی شدن بالاتری را نسبت به هارزبورژیت‌ها از خود نشان می‌دهند. بلورهای کلینوپیروکسن، اسپینل‌های کروم‌دار و مگنتیت به صورت کانی‌های فرعی در این سنگ

افزایش می‌باید. ترکیب متوسط الیوین‌های موجود در لرزولیت، هارزبورژیت و دونیت به ترتیب  $\text{FO}_{90.9}$ ,  $\text{FO}_{91.8}$  و  $\text{FO}_{91.7}$  است. ترکیب متوسط الیوین‌های موجود در کرومیتیت‌ها،  $\text{FO}_{93.5}$  و الیوین احاطه شده توسط کروم اسپینل در کرومیتیت  $\text{FO}_{95.3}$  محاسبه شده است. در تقسیم بندی، این کانی‌ها در قسمت فورستریت (Forsterite)، قرار می‌گیرند (شکل ۳).

مقدار فورستریت الیوین‌های موجود در دونیتها برابر با مقدار فورستریت لرزولیت‌ها و کمی بیشتر از هارزبورژیت‌هاست. تغییر مقدار فورستریت از لرزولیت به سمت هارزبورژیت و دونیت روند منظمی را نشان نمی‌دهد. الیوین‌های موجود در کرومیتیت‌ها مقدار فورستریت بیشتر از سایر واحدها دارند. در بین الیوین‌های کرومیتیت‌ها آنهایی که کاملاً توسط کروم اسپینل احاطه شده‌اند، به علت واکنش بین الیوین و کروم اسپینل در دمای ساب سولیدوس مقدار فورستریت بیشتر از سایر الیوین‌ها دارند.

مقدار  $\text{NiO}$  در الیوین‌های پریدوتیت گوشه و کرومیتیت‌های لوگر بین  $0/37$  تا  $0/62$  درصد وزنی در تغییر است؛ به طوری که الیوین‌های کرومیتیت‌ها دارای بیشترین مقدار  $\text{NiO}$  و الیوین‌های دونیت‌ها کمترین مقدار  $\text{NiO}$  را دارا هستند. مقدار میانگین  $\text{NiO}$  در لرزولیت، هارزبورژیت و دونیت‌ها به ترتیب،  $0/405$ ,  $0/412$  و  $0/398$  درصد وزنی است. مقدار درصد وزنی  $\text{NiO}$  در الیوین‌های موجود در کرومیتیت‌ها افزایش قابل توجهی نشان می‌دهد؛ به طوری که مقدار میانگین این اکسید در الیوین احاطه شده توسط کروم اسپینل (Chromitite1) و الیوین آزاد در کرومیتیت (Chromitite2) به ترتیب،  $0/592$  و  $0/522$  درصد وزنی است. مقدار  $\text{FeO}$  الیوین‌ها در محدوده‌ای بین  $9/13$ - $4/65$  درصد وزنی در تغییر هستند. بیشترین مقدار

کرومیتیت‌ها در ملانژ افیولیتی لوگر، به طور ویژه با دونیت‌ها و هارزبورژیت‌ها همراه هستند. این نهشت‌ها از نوع انبانی و غنی از کروم هستند. کانی‌های عمدۀ در این سنگ‌ها کروم اسپینل، الیوین و گاهی دیوپسید هستند. در مقطع نازک بافت گرانولار مشاهده می‌شود. در کرومیتیت‌ها گاهی ادخال‌هایی از الیوین در کروم اسپینل‌ها دیده می‌شوند، همچنین، دانه‌های کروم اسپینل احاطه شده توسط الیوین نیز دیده می‌شود. کانی‌های الیوین و کروم اسپینل کرومیتیت‌ها بسیار سالم‌تر از الیوین و کروم اسپینل موجود در لرزولیت‌ها و هارزبورژیت‌های گوشته هستند. کروم اسپینل‌های کرومیتیت‌ها درشت و شکل‌دار هستند. شکستگی‌های مکانیکی در این کروم اسپینل‌ها گاهی دیده می‌شوند. در این شکستگی‌ها و همچنین، در اطراف آنها پدیده مگنتیتی شدن را می‌توان مشاهده نمود.

کروم اسپینل‌های کرومیتیت‌ها گاهی بافت پویی کلیتیک نیز نشان می‌دهند. الیوین، سرپانتین، پیروکسن و کلریت به صورت ادخال در این کروم اسپینل‌ها دیده می‌شوند. دیوپسید با رخ‌های کاملاً واضح نیز گاهی در بین اسپینل‌ها دیده می‌شود (شکل D-۲). کلریت‌ها بعضی جاها به صورت ادخال در بین کروم اسپینل‌ها و در بعضی جاها در گیر با دیوپسیدها و گاهی کنار الیوین‌ها، توسط اسپینل‌ها احاطه شده‌اند. این کلریت‌ها گاهی دارای ماکل‌های شبیه به ماکل پلی‌سنتیک پلازیوکلازها هستند (شکل E-۲).

### شیمی کانی‌ها

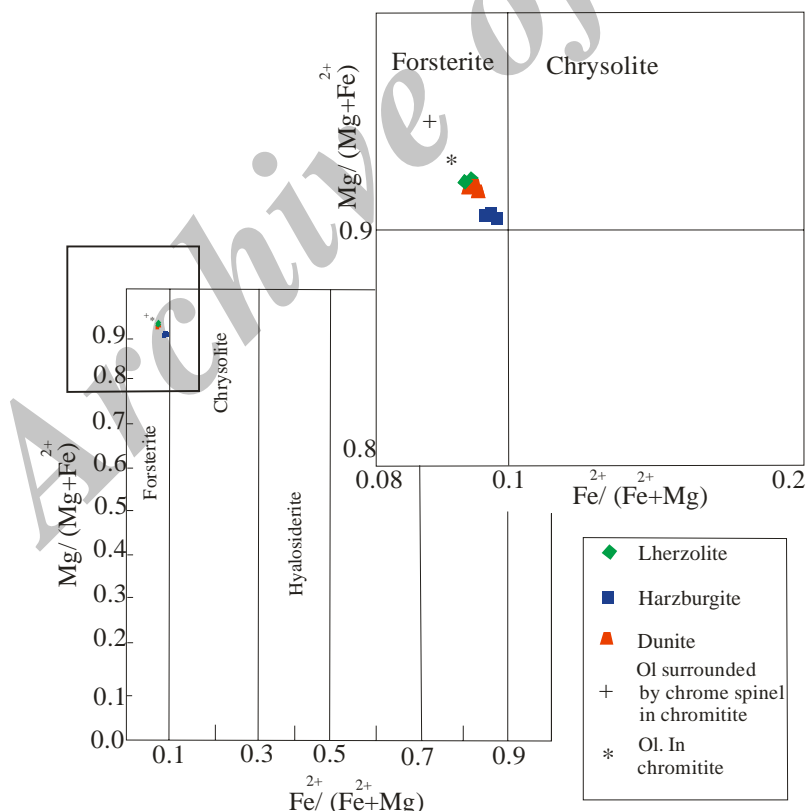
**الیوین‌ها:** الیوین‌های موجود در پریدوتیت‌های گوشه افیولیت لوگر اغلب سرپانتینی شده‌اند؛ میزان سرپانتینی شدن این کانی‌ها از لرزولیت به سمت دونیت

بیشتر از دیگر الیوین‌های موجود در کرومیتیت است. الیوین‌های موجود در دونیت شباهت‌های نزدیکی با الیوین‌های موجود در لرزولیت نشان می‌دهند و اگر الیوین‌ها در برابر  $Mg\#$  آنها رسم شود مشخص است که  $Mg\#$  و  $Mg\#$  دونیت و لرزولیت تقریباً در یک حد است (شکل ۳).

میانگین نتایج آنالیز الیوین‌های موجود در پریدوتیت‌های گوشه افیولیت لوگر، فرمول ساختاری، میزان ( $Mg/(Mg+Fe^{2+})$ ) =  $Mg\#$  و درصد اعضای پایانی این کانی‌ها در جدول ۱ آورده شده است. فرمول شیمیایی الیوین‌های گوشه افیولیت لوگر در جدول ۲ آورده شده است.

الیوین‌ها به هارزبورژیت و کمترین مقدار به الیوین کرومیتیت مربوط است. مقدار FeO الیوین کرومیتیت‌ها بین ۴/۶۵ تا ۶/۳۶ درصد وزنی متغیر است به گونه‌ای که کمترین مقدار FeO مربوط به الیوین‌های کاملاً محاط شده توسط اسپینل‌هاست. مقدار میانگین MnO الیوین‌های موجود در لرزولیت، هارزبورژیت و دونیت‌ها به ترتیب ۰/۱۱، ۰/۱۲ و ۰/۱۱ درصد وزنی است. مقدار درصد وزنی MnO الیوین‌های موجود در کرومیتیت، ۰/۰۹ و در الیوین‌های کاملاً احاطه شده توسط کروم اسپینل ۰/۰۷ است.

همان طور که اشاره شد، میزان  $Mg\#$  و NiO در الیوین‌های کرومیتیت‌ها بیشترین مقدار را داشته، در الیوین‌های احاطه شده توسط کروم اسپینل‌ها بسیار



شکل ۳- موقعیت ترکیبی الیوین‌های پریدوتیت‌های گوشه افیولیت لوگر

جدول ۱- میانگین ترکیب الیوین‌های موجود در پریدوتیت‌های گوشته افیولیت لوگر، بر اساس درصد وزنی و فرمول ساختمانی بر اساس ۴ اکسیژن، به همراه محاسبه‌ی اعضا‌ی پایانی آنها (Fo = Forsterite)

| Rock type*                         | Lz                 | Lz                 | Hz                 | Hz                 | Hz                 | Du    | Du    | Du    | Chromitite1        | Chromitite2        |
|------------------------------------|--------------------|--------------------|--------------------|--------------------|--------------------|-------|-------|-------|--------------------|--------------------|
| <b>Sample No.</b>                  | 09-Ol <sub>1</sub> | 09-Ol <sub>2</sub> | 05-Ol <sub>1</sub> | 05-Ol <sub>2</sub> | 05-Ol <sub>3</sub> | 11-Ol | 11-Ol | 11-Ol | 02-Ol <sub>1</sub> | 02-Ol <sub>2</sub> |
| <b>SiO<sub>2</sub></b>             | 40.09              | 40.07              | 41.07              | 40.51              | 40.05              | 40.24 | 40.59 | 40.41 | 41.23              | 41.05              |
| <b>TiO<sub>2</sub></b>             | 0.01               | 0.02               | 0.01               | 0.01               | 0.01               | 0.02  | 0.01  | 0.00  | 0.00               | 0.00               |
| <b>Al<sub>2</sub>O<sub>3</sub></b> | 0.00               | 0.00               | 0.00               | 0.00               | 0.01               | 0.01  | 0.01  | 0.01  | 0.02               | 0.00               |
| <b>Cr<sub>2</sub>O<sub>3</sub></b> | 0.00               | 0.00               | 0.06               | 0.00               | 0.00               | 0.00  | 0.00  | 0.01  | 0.06               | 0.00               |
| <b>FeO*</b>                        | 8.31               | 8.09               | 9.04               | 9.00               | 8.95               | 8.20  | 8.17  | 8.15  | 4.68               | 6.21               |
| <b>MnO</b>                         | 0.13               | 0.10               | 0.13               | 0.12               | 0.12               | 0.10  | 0.12  | 0.12  | 0.07               | 0.08               |
| <b>MgO</b>                         | 51.71              | 52.23              | 51.31              | 50.90              | 51.31              | 51.01 | 51.05 | 52.01 | 54.25              | 52.69              |
| <b>CaO</b>                         | 0.03               | 0.04               | 0.02               | 0.03               | 0.03               | 0.04  | 0.03  | 0.02  | 0.02               | 0.02               |
| <b>Na<sub>2</sub>O</b>             | 0.00               | 0.00               | 0.00               | 0.00               | 0.00               | 0.02  | 0.00  | 0.00  | 0.00               | 0.00               |
| <b>K<sub>2</sub>O</b>              | 0.00               | 0.01               | 0.00               | 0.00               | 0.01               | 0.00  | 0.00  | 0.00  | 0.00               | 0.01               |
| <b>NiO</b>                         | 0.39               | 0.41               | 0.41               | 0.42               | 0.40               | 0.38  | 0.39  | 0.41  | 0.59               | 0.51               |
| <b>Total</b>                       | 100.67             | 100.97             | 102.05             | 100.99             | 100.89             | 100.0 | 100.3 | 101.1 | 100.92             | 100.57             |
| <b>Si</b>                          | 0.974              | 0.970              | 0.986              | 0.983              | 0.973              | 0.982 | 0.986 | 0.976 | 0.983              | 0.987              |
| <b>Ti</b>                          | 0.000              | 0.000              | 0.000              | 0.000              | 0.000              | 0.000 | 0.000 | 0.000 | 0.000              | 0.000              |
| <b>Al</b>                          | 0.000              | 0.000              | 0.000              | 0.000              | 0.000              | 0.000 | 0.000 | 0.000 | 0.001              | 0.000              |
| <b>Cr</b>                          | 0.000              | 0.000              | 0.001              | 0.000              | 0.000              | 0.000 | 0.000 | 0.000 | 0.001              | 0.000              |
| <b>Fe<sup>3+</sup></b>             | 0.000              | 0.000              | 0.000              | 0.000              | 0.000              | 0.000 | 0.000 | 0.000 | 0.000              | 0.000              |
| <b>Fe<sup>2+</sup></b>             | 0.169              | 0.164              | 0.181              | 0.183              | 0.182              | 0.167 | 0.166 | 0.165 | 0.093              | 0.125              |
| <b>Mn</b>                          | 0.003              | 0.002              | 0.003              | 0.002              | 0.002              | 0.002 | 0.002 | 0.002 | 0.001              | 0.002              |
| <b>Mg</b>                          | 1.872              | 1.885              | 1.836              | 1.840              | 1.859              | 1.856 | 1.849 | 1.872 | 1.927              | 1.889              |
| <b>Ca</b>                          | 0.001              | 0.001              | 0.001              | 0.001              | 0.001              | 0.001 | 0.001 | 0.001 | 0.001              | 0.001              |
| <b>Na</b>                          | 0.000              | 0.000              | 0.000              | 0.000              | 0.000              | 0.001 | 0.000 | 0.000 | 0.000              | 0.000              |
| <b>K</b>                           | 0.000              | 0.000              | 0.000              | 0.000              | 0.000              | 0.000 | 0.000 | 0.000 | 0.000              | 0.000              |
| <b>Ni</b>                          | 0.008              | 0.008              | 0.008              | 0.008              | 0.008              | 0.007 | 0.008 | 0.008 | 0.011              | 0.01               |
| <b>Total</b>                       | 3.027              | 3.030              | 3.016              | 3.017              | 3.025              | 3.016 | 3.012 | 3.024 | 3.017              | 3.014              |
| <b>Mg#</b>                         | 0.92               | 0.92               | 0.91               | 0.91               | 0.91               | 0.92  | 0.92  | 0.92  | 0.95               | 0.94               |
| <b>Forsterite</b>                  | 91.59              | 91.91              | 90.89              | 90.86              | 90.99              | 91.65 | 91.67 | 91.81 | 95.34              | 93.70              |
| <b>Fayalite</b>                    | 8.27               | 8.00               | 8.96               | 9.04               | 8.91               | 8.25  | 8.23  | 8.09  | 4.60               | 6.20               |
| <b>Tephroite</b>                   | 0.15               | 0.10               | 0.15               | 0.10               | 0.10               | 0.10  | 0.10  | 0.10  | 0.05               | 0.10               |
| <b>Olivine Name</b>                | Fo                 | Fo                 | Fo                 | Fo                 | Fo                 | Fo    | Fo    | Fo    | Fo                 | Fo                 |

\*Lz = Lherzolite; Hz = Harzburgite; Du = Dunite

جدول ۲- نام و فرمول شیمیایی الیوین‌ها به‌طور میانگین (بر اساس ۴ اتم اکسیژن).

| Rock type                 | Sample No.         | Olivine Name | Chemical Formula  |
|---------------------------|--------------------|--------------|---|
| Lherzolite                | 09-Ol <sub>1</sub> | Forsterite   | (Mg <sub>1.872</sub> Fe <sup>2+</sup> <sub>0.169</sub> Ni <sub>0.008</sub> Mn <sub>0.003</sub> Ca <sub>0.001</sub> ) (Si <sub>0.974</sub> ) |
| Lherzolite                | 09-Ol <sub>2</sub> | Forsterite   | (Mg <sub>1.885</sub> Fe <sup>2+</sup> <sub>0.164</sub> Ni <sub>0.008</sub> Mn <sub>0.002</sub> Ca <sub>0.001</sub> ) (Si <sub>0.970</sub> ) |
| Harzburgite               | 05-Ol <sub>1</sub> | Forsterite   | (Mg <sub>1.836</sub> Fe <sup>2+</sup> <sub>0.181</sub> Ni <sub>0.008</sub> Mn <sub>0.003</sub> Ca <sub>0.001</sub> ) (Si <sub>0.986</sub> ) |
| Harzburgite               | 05-Ol <sub>2</sub> | Forsterite   | (Mg <sub>1.840</sub> Fe <sup>2+</sup> <sub>0.183</sub> Ni <sub>0.008</sub> Mn <sub>0.002</sub> Ca <sub>0.001</sub> ) (Si <sub>0.983</sub> ) |
| Harzburgite               | 05-Ol <sub>3</sub> | Forsterite   | (Mg <sub>1.859</sub> Fe <sup>2+</sup> <sub>0.182</sub> Ni <sub>0.008</sub> Mn <sub>0.002</sub> Ca <sub>0.001</sub> ) (Si <sub>0.973</sub> ) |
| Dunite                    | 11-Ol <sub>1</sub> | Forsterite   | (Mg <sub>1.856</sub> Fe <sup>2+</sup> <sub>0.167</sub> Ni <sub>0.007</sub> Mn <sub>0.002</sub> Ca <sub>0.001</sub> ) (Si <sub>0.982</sub> ) |
| Dunite                    | 11-Ol <sub>2</sub> | Forsterite   | (Mg <sub>1.849</sub> Fe <sup>2+</sup> <sub>0.166</sub> Ni <sub>0.008</sub> Mn <sub>0.002</sub> Ca <sub>0.001</sub> ) (Si <sub>0.986</sub> ) |
| Dunite                    | 11-Ol <sub>3</sub> | Forsterite   | (Mg <sub>1.872</sub> Fe <sup>2+</sup> <sub>0.165</sub> Ni <sub>0.008</sub> Mn <sub>0.002</sub> Ca <sub>0.001</sub> ) (Si <sub>0.976</sub> ) |
| Chromitite (enclosed.Ol.) | 02-Ol <sub>1</sub> | Forsterite   | (Mg <sub>1.927</sub> Fe <sup>2+</sup> <sub>0.093</sub> Ni <sub>0.011</sub> Mn <sub>0.001</sub> Ca <sub>0.001</sub> ) (Si <sub>0.983</sub> ) |
| Chromitite (Vein Ol.)     | 02-Ol <sub>2</sub> | Forsterite   | (Mg <sub>1.889</sub> Fe <sup>2+</sup> <sub>0.125</sub> Ni <sub>0.01</sub> Mn <sub>0.002</sub> Ca <sub>0.001</sub> ) (Si <sub>0.987</sub> )  |

ساختمانی این کانی‌ها و نتایج محاسبه‌ی درصد اعضا‌ی پایانی، به همراه Cr# = Cr/(Cr+Al) و Mg# = Mg/(Mg+Fe) این ارتوپیروکسن‌ها در جدول ۳ و فرمول شیمیایی این کانی‌ها در جدول ۴ آورده شده است.

ارتوپیروکسن‌ها: فرمول ساختمانی ارتوپیروکسن‌های موجود در پریدوتیت‌های گوشته افیولیت لوگر بر پایه ۶ اتم اکسیژن و مقاله Morimoto (۱۹۸۹) محاسبه شده است. میانگین نتایج و فرمول

جدول ۳- میانگین نتایج ترکیب ارتوبیروکسن‌های موجود در پریدوتیت‌های گوشته افیولیت لوگر و محاسبه درصد اعضای پایانی آنها بر اساس

درصد وزنی و فرمول ساختمانی (En = Enstatite)

| Rock type*                     | Lz      | Lz      | Lz      | Lz      | Lz      | Hz      | Hz      | Hz      | Du      | Du      | Du      |
|--------------------------------|---------|---------|---------|---------|---------|---------|---------|---------|---------|---------|---------|
| Sample No.                     | 09-Opx1 | 09-Opx2 | 09-Opx3 | 09-Opx4 | 09-Opx5 | 05-Opx1 | 05-Opx2 | 05-Opx3 | 11-Opx1 | 11-Opx2 | 11-Opx3 |
| SiO <sub>2</sub>               | 56.12   | 55.91   | 55.62   | 55.86   | 55.96   | 56.15   | 56.95   | 56.09   | 56.02   | 55.59   | 55.5    |
| TiO <sub>2</sub>               | 0.00    | 0.02    | 0.00    | 0.03    | 0.02    | 0.03    | 0.02    | 0.01    | 0.08    | 0.06    | 0.06    |
| Al <sub>2</sub> O <sub>3</sub> | 1.76    | 1.97    | 1.89    | 1.99    | 1.79    | 1.27    | 1.39    | 1.4     | 2.18    | 2.28    | 2.41    |
| Cr <sub>2</sub> O <sub>3</sub> | 0.55    | 0.66    | 0.52    | 0.71    | 0.61    | 0.44    | 0.51    | 0.53    | 0.61    | 0.6     | 0.74    |
| FeO*                           | 5.52    | 5.34    | 5.54    | 5.36    | 5.38    | 5.93    | 5.94    | 5.85    | 5.16    | 5.31    | 5.38    |
| MnO                            | 0.13    | 0.13    | 0.13    | 0.14    | 0.12    | 0.16    | 0.11    | 0.16    | 0.12    | 0.11    | 0.11    |
| MgO                            | 35.8    | 35.06   | 35.32   | 35.49   | 35.4    | 35.35   | 35.44   | 34.92   | 34.18   | 35.06   | 35.03   |
| CaO                            | 0.86    | 1.27    | 0.96    | 0.86    | 1.22    | 0.66    | 0.94    | 1.22    | 1.87    | 1.19    | 1.05    |
| Na <sub>2</sub> O              | 0.00    | 0.01    | 0.00    | 0.00    | 0.02    | 0.02    | 0.00    | 0.00    | 0.00    | 0.00    | 0.01    |
| K <sub>2</sub> O               | 0.00    | 0.00    | 0.01    | 0.00    | 0.01    | 0.00    | 0.01    | 0.01    | 0.00    | 0.01    | 0.00    |
| NiO                            | 0.08    | 0.08    | 0.08    | 0.11    | 0.11    | 0.09    | 0.06    | 0.11    | 0.1     | 0.11    | 0.12    |
| Total                          | 100.82  | 100.45  | 100.07  | 100.55  | 100.64  | 100.1   | 101.37  | 100.29  | 100.32  | 100.41  |         |
| Si                             | 1.907   | 1.91    | 1.905   | 1.905   | 1.907   | 1.926   | 1.931   | 1.923   | 1.922   | 1.901   | 1.897   |
| Ti                             | 0.00    | 0.001   | 0.000   | 0.001   | 0.001   | 0.001   | 0.001   | 0.00    | 0.002   | 0.002   | 0.002   |
| Al                             | 0.070   | 0.079   | 0.076   | 0.080   | 0.072   | 0.051   | 0.056   | 0.057   | 0.088   | 0.092   | 0.097   |
| Cr                             | 0.015   | 0.018   | 0.014   | 0.019   | 0.016   | 0.012   | 0.014   | 0.014   | 0.017   | 0.016   | 0.020   |
| Fe <sup>3+</sup>               | 0.100   | 0.081   | 0.099   | 0.089   | 0.098   | 0.085   | 0.067   | 0.083   | 0.047   | 0.087   | 0.086   |
| Fe <sup>2+</sup>               | 0.056   | 0.072   | 0.06    | 0.063   | 0.055   | 0.085   | 0.101   | 0.085   | 0.101   | 0.065   | 0.068   |
| Mn                             | 0.004   | 0.004   | 0.004   | 0.004   | 0.003   | 0.005   | 0.003   | 0.005   | 0.003   | 0.003   | 0.003   |
| Mg                             | 1.813   | 1.786   | 1.804   | 1.804   | 1.798   | 1.807   | 1.792   | 1.875   | 1.749   | 1.787   |         |
| Ca                             | 0.031   | 0.046   | 0.035   | 0.031   | 0.045   | 0.024   | 0.034   | 0.045   | 0.069   | 0.044   | 0.038   |
| Na                             | 0.000   | 0.001   | 0.000   | 0.000   | 0.001   | 0.001   | 0.000   | 0.000   | 0.000   | 0.000   | 0.001   |
| K                              | 0.000   | 0.000   | 0.000   | 0.000   | 0.000   | 0.000   | 0.000   | 0.000   | 0.000   | 0.000   | 0.000   |
| Ni                             | 0.002   | 0.002   | 0.002   | 0.003   | 0.003   | 0.002   | 0.002   | 0.003   | 0.003   | 0.003   | 0.003   |
| Total                          | 4.000   | 4.000   | 4.000   | 4.000   | 4.000   | 4.000   | 4.000   | 4.000   | 4.000   | 4.000   | 4.000   |
| Mg#                            | 0.970   | 0.961   | 0.968   | 0.966   | 0.970   | 0.955   | 0.947   | 0.955   | 0.945   | 0.965   | 0.963   |
| Cr#                            | 0.176   | 0.186   | 0.156   | 0.192   | 0.182   | 0.190   | 0.200   | 0.197   | 0.162   | 0.143   | 0.171   |
| Wollastonite                   | 1.561   | 2.338   | 1.76    | 1.577   | 2.228   | 1.209   | 1.71    | 2.239   | 3.492   | 2.195   | 1.942   |
| Enstatite                      | 90.43   | 89.8    | 90.121  | 90.548  | 89.932  | 90.082  | 89.698  | 89.151  | 88.81   | 89.998  | 90.132  |
| Ferrosilite                    | 8.009   | 7.862   | 8.118   | 7.875   | 7.841   | 8.709   | 8.592   | 8.61    | 7.698   | 7.807   | 7.926   |
| Opx Name                       | En      |

\*Lz = Lherzolite; Hz = Harzburgite; Du = Dunite; Chr = Chromitite

جدول ۴- نام و فرمول شیمیایی ارتوبیروکسن‌های آورده شده در جدول ۳

| Rock type   | Sample No. | Opx Name  | Chemical Formula   |
|-------------|------------|-----------|--|
| Lherzolite  | 09-Opx1    | Enstatite | (Mg <sub>0.908</sub> Fe <sup>+2</sup> <sub>0.056</sub> Mn <sub>0.004</sub> Ca <sub>0.031</sub> )(Mg <sub>0.905</sub> Fe <sup>+3</sup> <sub>0.078</sub> Cr <sub>0.015</sub> Ni <sub>0.002</sub> )(Si <sub>1.907</sub> Al <sub>0.07</sub> Fe <sup>+3</sup> <sub>0.022</sub> )O <sub>6</sub>  |
| Lherzolite  | 09-Opx2    | Enstatite | (Mg <sub>0.877</sub> Fe <sup>+2</sup> <sub>0.072</sub> Mn <sub>0.004</sub> Ca <sub>0.046</sub> Na <sub>0.001</sub> )(Mg <sub>0.909</sub> Fe <sup>+3</sup> <sub>0.07</sub> Cr <sub>0.018</sub> Ni <sub>0.002</sub> Ti <sub>0.001</sub> )(Si <sub>1.91</sub> Al <sub>0.079</sub> Fe <sup>+3</sup> <sub>0.011</sub> )O <sub>6</sub>   |
| Lherzolite  | 09-Opx3    | Enstatite | (Mg <sub>0.901</sub> Fe <sup>+2</sup> <sub>0.06</sub> Mn <sub>0.004</sub> Ca <sub>0.035</sub> )(Mg <sub>0.903</sub> Fe <sup>+3</sup> <sub>0.081</sub> Cr <sub>0.014</sub> Ni <sub>0.002</sub> )(Si <sub>1.905</sub> Al <sub>0.076</sub> Fe <sup>+3</sup> <sub>0.018</sub> )O <sub>6</sub>  |
| Lherzolite  | 09-Opx4    | Enstatite | (Mg <sub>0.91</sub> Fe <sup>+2</sup> <sub>0.063</sub> Mn <sub>0.004</sub> Ca <sub>0.031</sub> )(Mg <sub>0.903</sub> Fe <sup>+3</sup> <sub>0.074</sub> Cr <sub>0.019</sub> Ni <sub>0.003</sub> Ti <sub>0.001</sub> )(Si <sub>1.905</sub> Al <sub>0.08</sub> Fe <sup>+3</sup> <sub>0.015</sub> )O <sub>6</sub>                       |
| Lherzolite  | 09-Opx5    | Enstatite | (Mg <sub>0.895</sub> Fe <sup>+2</sup> <sub>0.055</sub> Mn <sub>0.003</sub> Ca <sub>0.045</sub> Na <sub>0.001</sub> )(Mg <sub>0.903</sub> Fe <sup>+3</sup> <sub>0.077</sub> Cr <sub>0.016</sub> Ni <sub>0.003</sub> Ti <sub>0.001</sub> )(Si <sub>1.907</sub> Al <sub>0.072</sub> Fe <sup>+3</sup> <sub>0.021</sub> )O <sub>6</sub> |
| Harzburgite | 05-Opx1    | Enstatite | (Mg <sub>0.884</sub> Fe <sup>+2</sup> <sub>0.085</sub> Mn <sub>0.005</sub> Ca <sub>0.024</sub> Na <sub>0.001</sub> )(Mg <sub>0.923</sub> Fe <sup>+3</sup> <sub>0.062</sub> Cr <sub>0.012</sub> Ni <sub>0.002</sub> Ti <sub>0.001</sub> )(Si <sub>1.926</sub> Al <sub>0.051</sub> Fe <sup>+3</sup> <sub>0.023</sub> )O <sub>6</sub> |
| Harzburgite | 05-Opx2    | Enstatite | (Mg <sub>0.862</sub> Fe <sup>+2</sup> <sub>0.101</sub> Mn <sub>0.003</sub> Ca <sub>0.034</sub> )(Mg <sub>0.93</sub> Fe <sup>+3</sup> <sub>0.054</sub> Cr <sub>0.014</sub> Ni <sub>0.002</sub> Ti <sub>0.001</sub> )(Si <sub>1.931</sub> Al <sub>0.056</sub> Fe <sup>+3</sup> <sub>0.013</sub> )O <sub>6</sub>                      |
| Harzburgite | 05-Opx3    | Enstatite | (Mg <sub>0.865</sub> Fe <sup>+2</sup> <sub>0.085</sub> Mn <sub>0.005</sub> Ca <sub>0.045</sub> )(Mg <sub>0.92</sub> Fe <sup>+3</sup> <sub>0.063</sub> Cr <sub>0.014</sub> Ni <sub>0.003</sub> )(Si <sub>1.923</sub> Al <sub>0.057</sub> Fe <sup>+3</sup> <sub>0.02</sub> )O <sub>6</sub>   |
| Dunite      | 11-Opx1    | Enstatite | (Mg <sub>0.827</sub> Fe <sup>+2</sup> <sub>0.101</sub> Mn <sub>0.003</sub> Ca <sub>0.069</sub> )(Mg <sub>0.922</sub> Fe <sup>+3</sup> <sub>0.047</sub> Cr <sub>0.017</sub> Ni <sub>0.003</sub> Ti <sub>0.002</sub> )(Si <sub>1.922</sub> Al <sub>0.078</sub> )O <sub>6</sub>   |
| Dunite      | 11-Opx2    | Enstatite | (Mg <sub>0.888</sub> Fe <sup>+2</sup> <sub>0.065</sub> Mn <sub>0.003</sub> Ca <sub>0.044</sub> )(Mg <sub>0.899</sub> Fe <sup>+3</sup> <sub>0.08</sub> Cr <sub>0.016</sub> Ni <sub>0.003</sub> Ti <sub>0.002</sub> )(Si <sub>1.901</sub> Al <sub>0.092</sub> Fe <sup>+3</sup> <sub>0.007</sub> )O <sub>6</sub>                      |
| Dunite      | 11-Opx3    | Enstatite | (Mg <sub>0.89</sub> Fe <sup>+2</sup> <sub>0.068</sub> Mn <sub>0.003</sub> Ca <sub>0.038</sub> Na <sub>0.001</sub> )(Mg <sub>0.895</sub> Fe <sup>+3</sup> <sub>0.08</sub> Cr <sub>0.02</sub> Ni <sub>0.003</sub> Ti <sub>0.002</sub> )(Si <sub>1.897</sub> Al <sub>0.097</sub> Fe <sup>+3</sup> <sub>0.006</sub> )O <sub>6</sub>    |

بستیت (Bastite) شده‌اند. مقدار  $\text{Mg} \#$  و  $\text{TiO}_2$  در کانی Opx موجود در لرزولیت‌ها به ترتیب ۰/۰۱۳ و ۰/۰۱۵، در هارزبورزیت‌ها ۰/۰۱۶ و ۰/۰۱۷۹، در دونیت‌ها این مقادیر ۰/۰۱۵ و ۰/۰۱۶ است. همان گونه که مشاهده می‌شود، ارتوبیروکسن‌ها کمترین مقدار

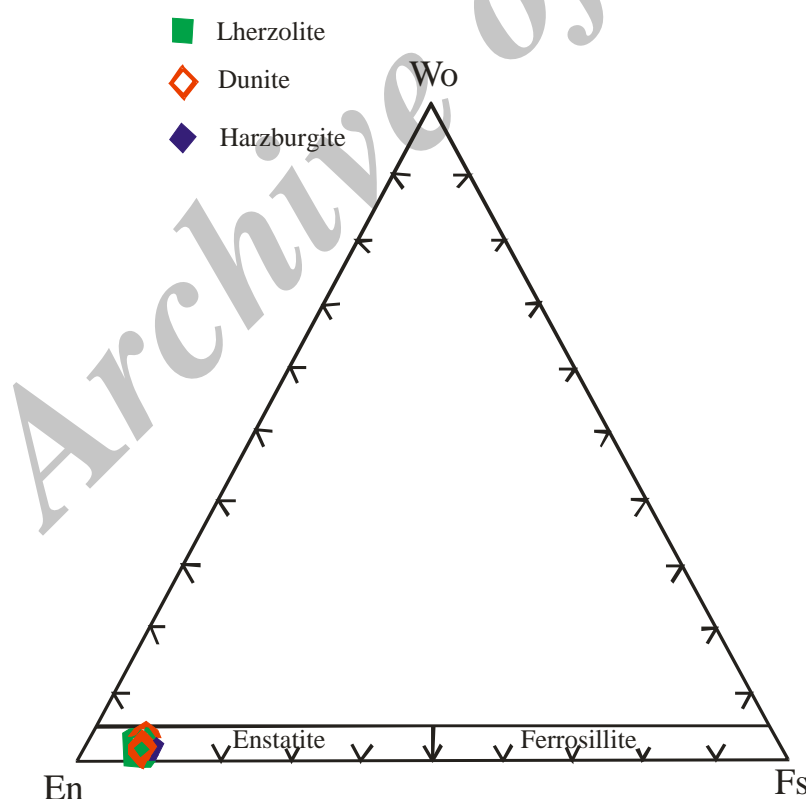
ارتبیروکسن‌های موجود در لرزولیت، هارزبورزیت و دونیت‌های گوشته افیولیت ملانژ لوگر از نوع انساتاتیت بوده، به طور میانگین، به ترتیب دارای  $\text{Mg} \#$  برابر با ۰/۹۵۴ و ۰/۹۵۰، هستند. این کانی‌ها به طور کامل یا به صورت بخشی تبدیل به نوعی سرپانتین به نام

و ۰/۶۲ درصد وزنی است. مقدار میانگین  $\text{FeO}$  در ارتوپیروکسن‌های موجود در لرزولیت، هارزبورژیت و دونیت‌ها به ترتیب، ۵/۴۵، ۵/۹۰ و ۵/۳۷ درصد وزنی است. مقدار  $\text{FeO}$  ارتوپیروکسن‌ها همانند مقدار  $\text{Cr} \#$  ارتوپیروکسن‌ها از لرزولیت به سمت هارزبورژیت افزایش می‌یابد، ولی در دونیت این مقدار یک کاهش ناگهانی نشان می‌دهد و به کمترین حد خود می‌رسد.

بیشترین مقدار  $\text{Al}_2\text{O}_3$  و  $\text{TiO}_2$  و  $\text{Cr}_2\text{O}_3$  و کمترین مقدار  $\text{FeO}$  و  $\text{Cr} \#$  مربوط به ارتوپیروکسن‌های موجود در دونیت‌ها هستند. در شکل ۴ ترکیب ارتوپیروکسن‌ها در دیاگرام مثلثی ارتوپیروکسن‌ها نمایش داده شده است. همه ارتوپیروکسن‌ها در محدوده انسستاتیت واقع می‌شوند.

$\text{TiO}_2$  را در لرزولیت‌ها داشته و در هارزبورژیت‌ها این مقدار کمی افزایش یافته است و در دونیت‌ها بیشترین مقدار  $\text{TiO}_2$  دیده می‌شود. میزان  $\text{Cr} \#$  ارتوپیروکسن‌ها نیز از لرزولیت به سمت هارزبورژیت یک روند افزایشی نشان می‌دهد، ولی در دونیت باز کاهش یافته است. میزان  $\text{Al}_2\text{O}_3$  در لرزولیت‌ها به طور میانگین ۱/۸۷ است. این مقدار در ارتوپیروکسن‌های هارزبورژیت‌ها کاهش می‌یابد و میانگین مقدار آن ۱/۳۹ می‌شود، در ارتوپیروکسن‌های تشکیل شده در دونیت‌ها میزان  $\text{Al}_2\text{O}_3$  به حداقل مقدار خود می‌رسد که به صورت میانگین ۲/۲۲ است.

مقدار میانگین  $\text{Cr}_2\text{O}_3$  موجود در ارتوپیروکسن‌های لرزولیت، هارزبورژیت و دونیت‌ها به ترتیب ۰/۵۰، ۰/۶۱ و ۰/۳۹ می‌شوند.



شکل ۴- موقعیت ترکیبی ارتوپیروکسن‌های موجود در پریدوتیت‌های گوشته افیولیت لوگر در دیاگرام مثلثی تقسیم‌بندی ارتوپیروکسن‌ها

جدول ۵- ترکیب کلینوپیروکسن‌های موجود در پریدوتیت‌های گوشته افیولیت لوگر بر اساس درصد وزنی، به همراه فرمول ساختمانی، Cr#، Mg# و درصد اعضای پایانی (Di = Diopside).

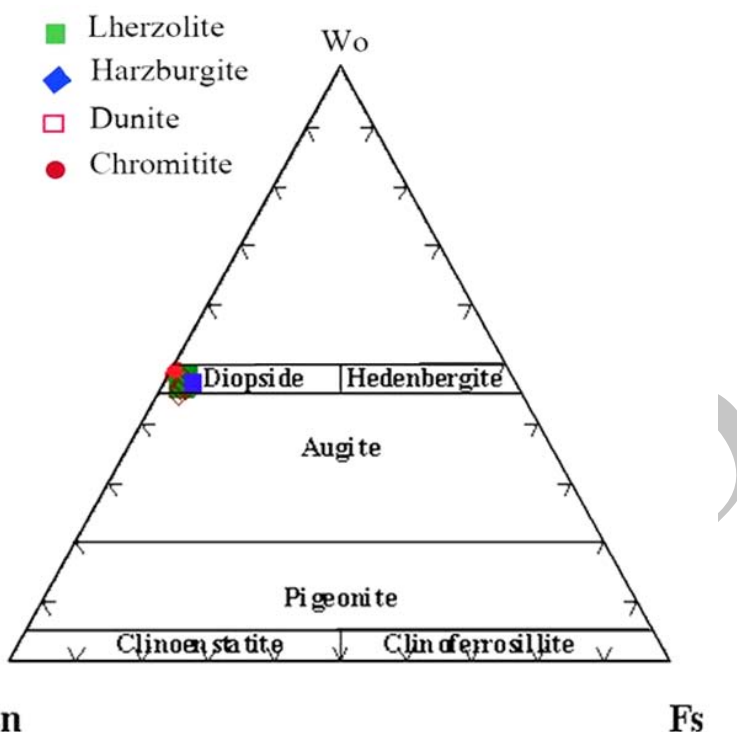
| Rock type*                         | Lz               | Lz       | Lz       | Lz       | Lz       | Hz       | Hz       | Hz       | Du       | Du       | Du       | Chr      | Chr      |
|------------------------------------|------------------|----------|----------|----------|----------|----------|----------|----------|----------|----------|----------|----------|----------|
| Sample No.                         | 09-Cpx1-09-Cpx1- | 09-Cpx1- | 09-Cpx1- | 09-Cpx2- | 09-Cpx2- | 05-Cpx1- | 05-Cpx1- | 05-Cpx1- | 11-Cpx1- | 11-Cpx1- | 11-Cpx1- | 02-Cpx1- | 02-Cpx1- |
|                                    | 1                | 2        | 3        | 1        | 2        | 1        | 2        | 3        | 1        | 2        | 3        | 1        | 2        |
| <b>SiO<sub>2</sub></b>             | 53.52            | 53.02    | 53.39    | 53.84    | 53.19    | 53.39    | 53.23    | 53.04    | 53.13    | 52.62    | 53.65    | 55.04    | 54.31    |
| <b>TiO<sub>2</sub></b>             | 0.02             | 0.00     | 0.00     | 0.03     | 0.00     | 0.01     | 0.03     | 0.03     | 0.15     | 0.13     | 0.1      | 0.08     | 0.06     |
| <b>Al<sub>2</sub>O<sub>3</sub></b> | 1.59             | 1.58     | 1.57     | 1.46     | 1.58     | 1.55     | 1.61     | 1.68     | 2.21     | 2.23     | 2.32     | 0.43     | 0.41     |
| <b>Cr<sub>2</sub>O<sub>3</sub></b> | 0.63             | 0.65     | 0.6      | 0.59     | 0.58     | 0.77     | 0.79     | 0.89     | 0.88     | 0.86     | 0.94     | 0.14     | 0.18     |
| <b>FeO*</b>                        | 1.84             | 1.87     | 1.75     | 1.75     | 1.72     | 2        | 1.99     | 1.97     | 1.82     | 1.73     | 1.95     | 0.68     | 0.83     |
| <b>MnO</b>                         | 0.05             | 0.04     | 0.06     | 0.06     | 0.06     | 0.08     | 0.08     | 0.07     | 0.05     | 0.06     | 0.07     | 0.01     | 0.01     |
| <b>MgO</b>                         | 18.19            | 18.39    | 18.3     | 18.44    | 18.28    | 18.55    | 18.08    | 18.18    | 18.09    | 18.23    | 18.78    | 18.73    | 18.61    |
| <b>CaO</b>                         | 24.05            | 23.46    | 23.71    | 23.63    | 23.46    | 23.57    | 23.46    | 23.6     | 23.65    | 23.1     | 22.82    | 25.39    | 24.82    |
| <b>Na<sub>2</sub>O</b>             | 0.08             | 0.08     | 0.08     | 0.09     | 0.08     | 0.09     | 0.11     | 0.14     | 0.11     | 0.11     | 0.12     | 0.03     | 0.04     |
| <b>K<sub>2</sub>O</b>              | 0.01             | 0.00     | 0.01     | 0.00     | 0.00     | 0.00     | 0.00     | 0.00     | 0.00     | 0.00     | 0.00     | 0.00     | 0.00     |
| <b>NiO</b>                         | 0.06             | 0.05     | 0.04     | 0.03     | 0.04     | 0.05     | 0.01     | 0.06     | 0.05     | 0.08     | 0.06     | 0.03     | 0.05     |
| <b>Total</b>                       | 100.04           | 99.14    | 99.51    | 99.92    | 98.99    | 100.06   | 99.39    | 99.66    | 100.14   | 99.15    | 100.81   | 100.56   | 99.32    |
| <b>Si</b>                          | 1.936            | 1.933    | 1.939    | 1.948    | 1.942    | 1.929    | 1.939    | 1.926    | 1.92     | 1.918    | 1.923    | 1.974    | 1.972    |
| <b>Ti</b>                          | 0.001            | 0.000    | 0.000    | 0.001    | 0.000    | 0.000    | 0.001    | 0.001    | 0.004    | 0.004    | 0.003    | 0.002    | 0.002    |
| <b>Al</b>                          | 0.068            | 0.067    | 0.068    | 0.062    | 0.068    | 0.066    | 0.069    | 0.072    | 0.094    | 0.096    | 0.098    | 0.018    | 0.018    |
| <b>Cr</b>                          | 0.018            | 0.019    | 0.017    | 0.017    | 0.017    | 0.022    | 0.023    | 0.026    | 0.025    | 0.025    | 0.027    | 0.004    | 0.005    |
| <b>Fe<sup>+3</sup></b>             | 0.047            | 0.054    | 0.042    | 0.03     | 0.037    | 0.059    | 0.036    | 0.058    | 0.039    | 0.043    | 0.033    | 0.000    | 0.000    |
| <b>Fe<sup>+2</sup></b>             | 0.008            | 0.003    | 0.011    | 0.023    | 0.015    | 0.001    | 0.024    | 0.001    | 0.016    | 0.009    | 0.026    | 0.02     | 0.025    |
| <b>Mn</b>                          | 0.002            | 0.001    | 0.002    | 0.002    | 0.002    | 0.002    | 0.002    | 0.002    | 0.002    | 0.002    | 0.002    | 0.000    | 0.000    |
| <b>Mg</b>                          | 0.981            | 1.000    | 0.991    | 0.995    | 0.995    | 0.999    | 0.982    | 0.984    | 0.975    | 0.991    | 1.004    | 1.002    | 1.008    |
| <b>Ca</b>                          | 0.932            | 0.916    | 0.923    | 0.916    | 0.918    | 0.913    | 0.916    | 0.918    | 0.916    | 0.902    | 0.876    | 0.976    | 0.966    |
| <b>Na</b>                          | 0.006            | 0.006    | 0.006    | 0.006    | 0.006    | 0.006    | 0.008    | 0.01     | 0.008    | 0.008    | 0.008    | 0.002    | 0.003    |
| <b>Ni</b>                          | 0.002            | 0.001    | 0.001    | 0.001    | 0.001    | 0.001    | 0.000    | 0.002    | 0.001    | 0.002    | 0.001    | 0.001    | 0.001    |
| <b>Total</b>                       | 4                | 4        | 4        | 4        | 4        | 4        | 4        | 4        | 4        | 4        | 4        | 4        | 4        |
| <b>Mg#</b>                         | 0.992            | 0.997    | 0.989    | 0.977    | 0.985    | 0.999    | 0.976    | 0.999    | 0.984    | 0.991    | 0.975    | 0.980    | 0.976    |
| <b>Cr#</b>                         | 0.209            | 0.221    | 0.200    | 0.215    | 0.200    | 0.250    | 0.250    | 0.265    | 0.210    | 0.207    | 0.216    | 0.182    | 0.217    |
| <b>Wollastonite</b>                | 47.31            | 46.42    | 46.871   | 46.607   | 46.654   | 46.211   | 46.702   | 46.743   | 47.036   | 46.327   | 45.163   | 48.837   | 48.317   |
| <b>Enstatite</b>                   | 49.787           | 50.63    | 50.335   | 50.605   | 50.581   | 50.604   | 50.079   | 50.101   | 50.06    | 50.87    | 51.715   | 50.127   | 50.407   |
| <b>Ferrosilite</b>                 | 2.903            | 2.951    | 2.794    | 2.788    | 2.764    | 3.185    | 3.218    | 3.155    | 2.904    | 2.803    | 3.122    | 1.036    | 1.277    |
| <b>Jadeite</b>                     | 0.041            | 0.005    | 0.079    | 0.162    | 0.12     | 0.00     | 0.144    | 0.00     | 0.216    | 0.198    | 0.334    | 0.000    | 0.000    |
| <b>Aegirin</b>                     | 0.539            | 0.581    | 0.503    | 0.486    | 0.468    | 0.654    | 0.657    | 1.024    | 0.586    | 0.612    | 0.533    | 0.002    | 0.003    |
| <b>Cpx Name</b>                    | Di               | Di       | Di       | Di       | Di       | Di       | Di       | Di       | Di       | Di       | Di       | Di       | Di       |

\*Lz = Lherzolite; Hz = Harzburgite; Du = Dunite; Chr = Chromitite

کلینوپیروکسن‌های موجود در سنگ‌های Mg# هارزبورزیت (۰/۹۹۱) کمتر از دونیت (۰/۹۸۳) بیشتر است. میانگین Mg# کلینوپیروکسن‌های تشکیل شده در کرومیتیت ۰/۹۷۸ است. مقاوم بودن کلینوپیروکسن در سنگ‌های پریدوتیتی گوشته لوگر باعث شده که این کانی‌ها نسبت به دیگر کانی‌های موجود در سنگ (الیوین، ارتوپیروکسن و اسپینل) کمتر تحت تاثیر دگر سانی قرار گیرند. در شکل ۵ ترکیب کلینوپیروکسن‌های موجود در پریدوتیت‌های گوشته افیولیت لوگر در دیاگرام مثلثی کلینوپیروکسن‌ها نمایش داده شده است.

**کلینوپیروکسن‌ها: فرمول ساختمانی**  
کلینوپیروکسن‌های موجود در پریدوتیت‌های گوشته افیولیت لوگر بر پایه ۶ اتم اکسیژن و مقاله Morimoto (۱۹۸۹) محاسبه شده است. ترکیب و فرمول ساختمانی کلینوپیروکسن‌ها به همراه محاسبه درصد اعضای پایانی در جدول ۵ آورده شده است.

کلینوپیروکسن‌های موجود در لرزولیت، هارزبورزیت، دونیت و کرومیتیت‌های افیولیت ملانژ لوگر از نوع دیپسید هستند (شکل ۵). میانگین میزان Mg# کلینوپیروکسن‌های لرزولیت ۰/۹۸۸ است که نسبت به



شکل ۵- ترکیب کلینوپیروکسن‌های موجود در پریدوتیت‌های گوشته افیولیت لوگر

دیده می‌شود ( $0/58-0/65$  درصد وزنی). این مقدار در هارزبورژیت‌ها کمی افزوده می‌شود ( $0/77-0/89$  درصد وزنی) و در کلینوپیروکسن‌های موجود در دونیت‌ها حداکثر مقدار  $\text{Cr}_2\text{O}_3$  دیده می‌شود ( $0/86-0/94$  درصد وزنی) (شکل B).

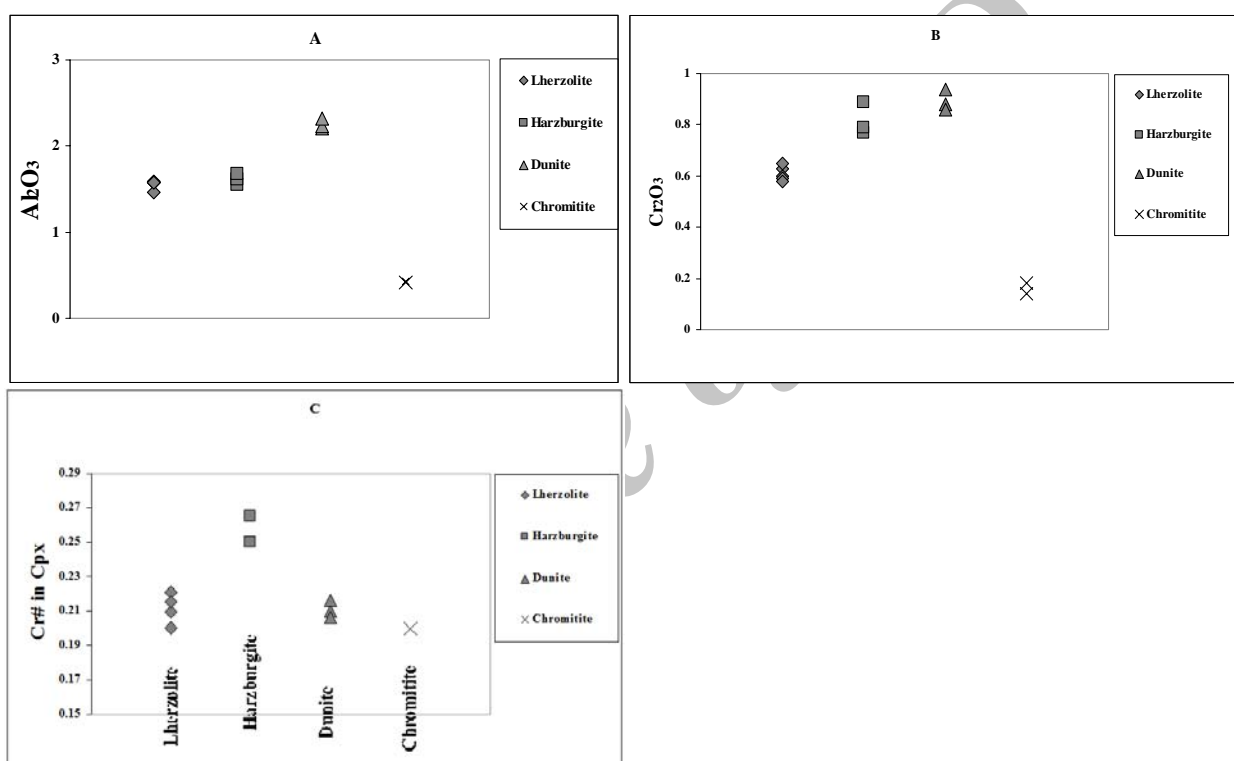
مقدار  $\text{Cr}_2\text{O}_3$  و  $\text{Al}_2\text{O}_3$  کلینوپیروکسن‌های واحدهای سنگی مختلف پریدوتیت‌های گوشته افیولیت لوگر روندی افزایشی از لرزولیت به سمت هارزبورژیت و دونیت نشان می‌دهد. میزان  $\text{Cr}_2\text{O}_3$  و  $\text{Al}_2\text{O}_3$  در کلینوپیروکسن‌های کرومیتیت‌ها نسبت به سایر واحدهای سنگی پریدوتیت‌های گوشته این منطقه بسیار کمتر بوده، به ترتیب  $0/16$  و  $0/42$  درصد وزنی هستند.  $\text{Cr}^{\#}$  کلینوپیروکسن‌های واحدهای سنگی مختلف پریدوتیت‌های گوشته افیولیت لوگر نیز همانند

مقدار  $\text{Al}_2\text{O}_3$  کلینوپیروکسن‌های واحدهای مختلف سنگی پریدوتیت‌های گوشته افیولیت لوگر از  $1/46$  درصد وزنی در لرزولیت‌ها تا  $2/32$  درصد وزنی در دونیت‌ها متغیر است. کمترین مقدار  $\text{Al}_2\text{O}_3$  مربوط به کلینوپیروکسن‌های لرزولیت‌هاست ( $1/46-1/59$  درصد وزنی)، میزان  $\text{Al}_2\text{O}_3$  در کلینوپیروکسن‌های هارزبورژیت‌ها کمی افزایش می‌یابد ( $1/55-1/68$  درصد وزنی) و در کلینوپیروکسن‌های موجود در دونیت‌ها بیشترین مقدار  $\text{Al}_2\text{O}_3$  دیده می‌شود ( $2/21-2/32$  درصد وزنی) (شکل A-6).

مقدار  $\text{Cr}_2\text{O}_3$  این کلینوپیروکسن‌ها تغییری بین  $0/58-0/94$  درصد وزنی را نشان می‌دهد. روند تغییرات  $\text{Cr}_2\text{O}_3$  کلینوپیروکسن‌ها نیز شبیه به تغییرات  $\text{Al}_2\text{O}_3$  است؛ به طوری که کمترین مقدار  $\text{Cr}_2\text{O}_3$  در کلینوپیروکسن‌های لرزولیت‌ها

در دونیت و کرومیتیت به ترتیب ۰/۲۱۱ و ۰/۲۰۰ است. در نمودارهای شکل ۶ روند تغییرات  $\text{Cr}_2\text{O}_3$ ،  $\text{Al}_2\text{O}_3$  و  $\text{Cr} \#$  در واحدهای مختلف سنگی پریدوتیت‌های گوشته افیولیت لوگر به نمایش در آمده است. نام و میانگین فرمول ساختاری کلینوپیروکسن در واحدهای سنگی مختلف پریدوتیت‌های گوشته افیولیت لوگر در جدول ۶ آورده شده است.

مقدار  $\text{Al}_2\text{O}_3$  و  $\text{Cr}_2\text{O}_3$  روندی افزایشی از لرزولیت به سمت هارزبورژیت نشان می‌دهد. کلینوپیروکسن‌های موجود در دونیت به علت مقدار بالای محتوی  $\text{Al}_2\text{O}_3$  پیروکسن‌های موجود در دونیت یک کاهش نسبت به هارزبورژیت نشان می‌دهند (شکل ۶-C). به طور میانگین  $\text{Cr} \#$  کلینوپیروکسن‌های موجود در لرزولیت و هارزبورژیت به ترتیب ۰/۲۵۵ و ۰/۲۰۹ دارند.



شکل ۶- تغییرات (A)  $\text{Cr}_2\text{O}_3$  (B)  $\text{Cr} \#$  (C) در کلینوپیروکسن‌های واحدهای مختلف سنگی افیولیت‌های گوشته لوگر از لرزولیت به سمت هارزبورژیت، دونیت و کرومیتیت نشان داده شده است.

جدول ۶- نام و فرمول شیمیایی کلینوپیروکسن‌ها به طور میانگین (بر اساس ۶ اتم اکسیژن)

| Rock Type   | Cpx Name | Chemical formula   |
|-------------|----------|--|
| Lherzolite  | Diopside | (Mg <sub>0.060</sub> Fe <sup>+2</sup> <sub>0.014</sub> Mn <sub>0.002</sub> Ca <sub>0.921</sub> Na <sub>0.006</sub> )(Mg <sub>0.933</sub> Fe <sup>+3</sup> <sub>0.042</sub> Cr <sub>0.018</sub> Al <sub>0.006</sub> Ni <sub>0.001</sub> )(Si <sub>1.940</sub> Al <sub>0.060</sub> )O <sub>6</sub>   |
| Harzburgite | Diopside | (Mg <sub>0.065</sub> Fe <sup>+2</sup> <sub>0.009</sub> Mn <sub>0.002</sub> Ca <sub>0.916</sub> Na <sub>0.008</sub> )(Mg <sub>0.923</sub> Fe <sup>+3</sup> <sub>0.049</sub> Cr <sub>0.024</sub> Al <sub>0.003</sub> Ni <sub>0.001</sub> Ti <sub>0.001</sub> )(Si <sub>1.931</sub> Al <sub>0.066</sub> Fe <sup>+3</sup> <sub>0.003</sub> )O <sub>6</sub> |
| Dunite      | Diopside | (Mg <sub>0.075</sub> Fe <sup>+2</sup> <sub>0.017</sub> Mn <sub>0.002</sub> Ca <sub>0.900</sub> Na <sub>0.008</sub> )(Mg <sub>0.915</sub> Fe <sup>+3</sup> <sub>0.038</sub> Cr <sub>0.026</sub> Al <sub>0.016</sub> Ni <sub>0.002</sub> Ti <sub>0.004</sub> )(Si <sub>1.920</sub> Al <sub>0.080</sub> )O <sub>6</sub>                                   |
| Chromitite  | Diopside | (Mg <sub>0.012</sub> Fe <sup>+2</sup> <sub>0.022</sub> Ca <sub>0.971</sub> Na <sub>0.002</sub> )(Mg <sub>0.992</sub> Cr <sub>0.004</sub> Al <sub>0.018</sub> )O <sub>6</sub>   |

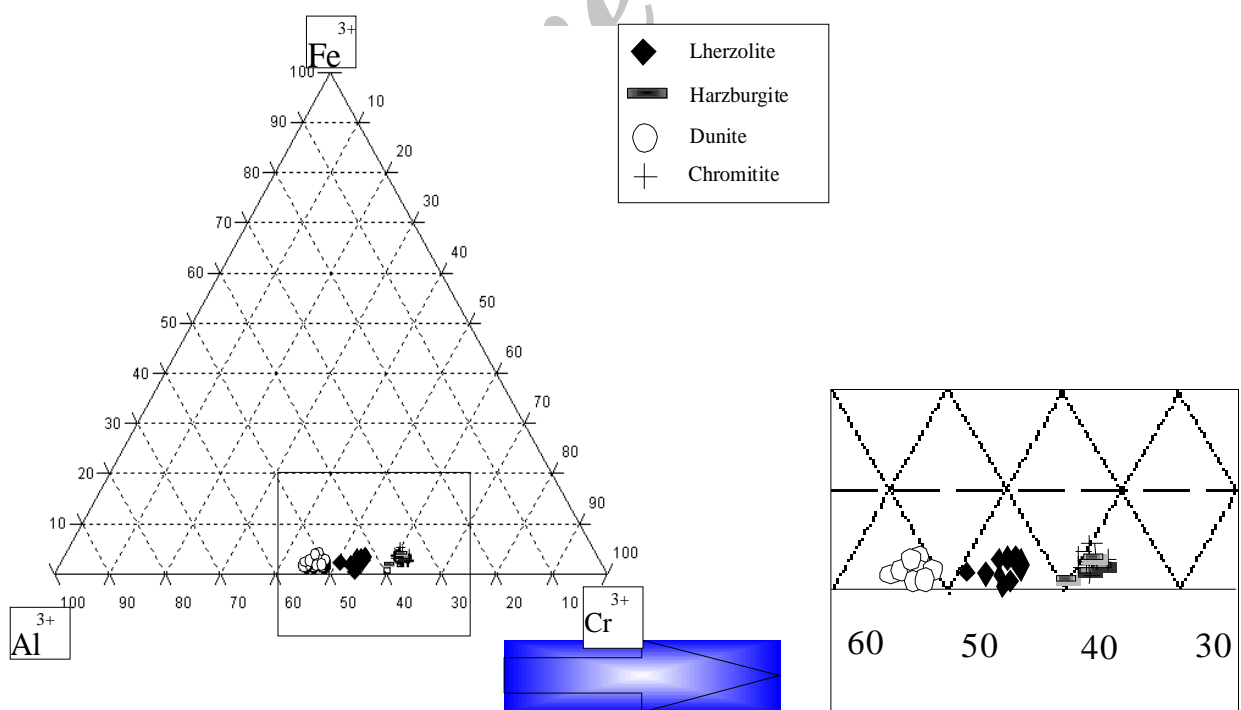
به طوری که  $\text{Cr} \#$  اسپینل‌ها می‌تواند به عنوان یک نشانگر در تعیین منشأ پریدوتیت‌ها استفاده شود (Dick and Bullen, 1984). ترکیب اسپینل‌های کرومدار متبلور

اسپینل‌ها: اسپینل مهم‌ترین کانی از لحاظ تغییرات ترکیبی در سنگ‌هاست و می‌تواند به عنوان یک نشانگر برای فهم فرایندهای موثر بر سنگ، استفاده شود؛

پریدوتیت‌های سرپانتینی شده ترکیب شیمیایی منشأ آذربین را به نمایش می‌گذارد (Dick and Bullen, 1984).

تبلور اسپینل کرومدار در محیط‌های ماگمایی همزمان با الیوین صورت می‌گیرد و ویژگی مهم ترکیبی آن ضریب توزیع پذیری بالای عناصری چون  $\text{Fe}^{3+}$ ,  $\text{Mg}$  و  $\text{Al}$  بین ماگما و اسپینل است (Maurel and Maurel, 1982) که می‌تواند نشانگر مفیدی برای ترکیب مایع اولیه باشد. ترکیب انواع اسپینل‌های کرومدار موجود در پریدوتیت‌های گوشه افیولیت لوگر در نمودار  $\text{Fe}^{3+}$ - $\text{Cr}^{3+}$ - $\text{Al}^{3+}$  در شکل ۷ نشان داده شده است. با توجه به نحوه قرارگیری اسپینل‌های واحدهای مختلف سنگی گوشه افیولیت لوگر، اسپینل‌های کرومیتیت‌ها شباهت ترکیبی بیشتر با اسپینل‌های هارزبورژیت‌ها نشان می‌دهند.

شده در محیط‌های مختلف با یکدیگر متفاوت است و در حقیقت، محیط تبلور مهم‌ترین عامل موثر بر ترکیب اسپینل‌های کرومدار است، البته، ترکیب این کانی تحت تاثیر دگرسانی و دگرگونی دچار تغییر می‌شود، ولی این تغییرات جزئی است (Dick and Bullen, 1984). این دگرسانی‌ها و دگرگونی با گسترش حاشیه مگنتیتی در اطراف اسپینل‌های کرومدار و افزایش میزان جایگزینی عناصر اصلی مانند  $\text{Mg}$ ,  $\text{Fe}$ ,  $\text{Al}$  و  $\text{Cr}$  بین کانی‌های سیلیکاته در برگیرنده، چون: الیوین، پیروکسن، کلریت و اسپینل باعث تغییر ترکیب اسپینل‌های کرومدار می‌شوند. با توجه به اینکه بخش‌های میانی اسپینل‌ها تنها در دمای بالاتر از ۵۰۰ درجه سانتی‌گراد تحت تاثیر و تغییر شیمیایی قرار می‌گیرد، ترکیب بخش‌های میانی این کانی‌ها در



شکل ۷- ترکیب اسپینل‌های کرومدار موجود در لرزولیت، هارزبورژیت، دونیت و کرومیتیت‌های افیولیت لوگر در مثلث کاتیون‌های ۳ ظرفیتی  $\text{Al}^{3+}$ ,  $\text{Cr}^{3+}$ ,  $\text{Fe}^{3+}$

مقایسه با اسپینل‌های کرومدار موجود در لرزولیت، میزان درصد اکسید کروم افزایش و اکسید آلومینیوم کاهش پیدا کرده است که در نتیجه Cr# آنها افزایش یافته است؛ (پ) اسپینل‌های سنگ‌های دونیتی: اسپینل‌های کرومدار موجود در دونیت‌ها دارای محتوای Cr<sub>2</sub>O<sub>3</sub> برابر با ۳۹/۱۷ درصد وزنی و Cr# برابر با ۰/۴۷۷ هستند. میزان Al<sub>2</sub>O<sub>3</sub> این کانی‌ها ۲۸/۸۷ درصد وزنی و آنها Mg# ۰/۶۴۳ است؛ (ت) کرومیتیت‌ها: اسپینل‌های موجود در کرومیتیت‌ها به عنوان ذخیره معدنی کروم در افیولیت لوگر رديابی و استخراج می‌شوند. مقدار اکسید Al<sub>2</sub>O<sub>3</sub> آنها در حدود ۴۸/۶۰ درصد است. Cr#, Cr<sub>2</sub>O<sub>3</sub> و Mg# این کانی‌ها به ترتیب ۰/۶۳۳، ۰/۶۴۳ و ۰/۶۵۲ درصد وزنی و هستند.

در پریدوتیت‌های گوشته افیولیت لوگر چندین نوع اسپینل کرومدار با ترکیب متفاوت وجود دارد (جدول‌های ۷ و ۸). این انواع مختلف در واحدهای سنگی متفاوت دیده می‌شوند (شکل ۸) که عبارتند از: (الف) اسپینل‌های پراکنده در سنگ‌های لرزولیتی: اسپینل‌های موجود در لرزولیت‌ها به طور میانگین دارای ۴۳/۷۵ درصد وزنی Cr<sub>2</sub>O<sub>3</sub>، ۲۴/۳۳ درصد وزنی Al<sub>2</sub>O<sub>3</sub>، Cr# برابر با ۰/۵۴۷ و Mg# برابر با ۰/۶۰۳ هستند؛ (ب) اسپینل‌های پراکنده در هارزبورژیت: اسپینل‌های موجود در هارزبورژیت‌ها به طور متوسط مقدار اکسید Cr<sub>2</sub>O<sub>3</sub> آنها ۴۸/۰۶ است. Cr# و Mg# این کانی‌ها به ترتیب ۰/۶۲۵ و ۰/۵۵۹ هستند. مقدار Al<sub>2</sub>O<sub>3</sub> آنها نیز ۱۹/۳۴ درصد وزنی است. همان طور که مشاهده می‌شود، در

جدول ۷- ترکیب اسپینل‌های موجود در پریدوتیت‌های گوشته افیولیت لوگر بر اساس درصد وزنی و فرمول ساختمانی آنها با احتساب ۳۲ اتم اکسیژن.

| Rock type*                     | Lz        | Hz        | Hz        |
|--------------------------------|-----------|-----------|-----------|-----------|-----------|-----------|-----------|-----------|-----------|-----------|
| Sample No.                     | 09-Chr1-1 | 09-Chr1-2 | 09-Chr1-3 | 09-Chr2-1 | 09-Chr2-2 | 09-Chr3-1 | 09-Chr3-2 | 09-Chr3-3 | 05-Chr1-1 | 05-Chr1-2 |
| SiO <sub>2</sub>               | 0.07      | 0.06      | 0.06      | 0.47      | 0.06      | 0.04      | 0.02      | 0.04      | 0.22      | 0.04      |
| TiO <sub>2</sub>               | 0.00      | 0.00      | 0.05      | 0.03      | 0.01      | 0.02      | 0.04      | 0.02      | 0.04      | 0.05      |
| Al <sub>2</sub> O <sub>3</sub> | 26.11     | 24.85     | 24.28     | 24.77     | 23.34     | 24.38     | 23.54     | 23.34     | 20.68     | 19.13     |
| Cr <sub>2</sub> O <sub>3</sub> | 41.90     | 43.40     | 43.83     | 44.07     | 44.08     | 43.54     | 44.41     | 44.77     | 46.98     | 48.24     |
| FeO*                           | 17.17     | 17.26     | 17.12     | 17.19     | 16.87     | 17.27     | 17.28     | 17.17     | 18.32     | 18.61     |
| MnO                            | 0.24      | 0.23      | 0.20      | 0.26      | 0.25      | 0.24      | 0.22      | 0.23      | 0.26      | 0.27      |
| MgO                            | 13.25     | 12.76     | 13.04     | 12.80     | 13.36     | 13.12     | 13.36     | 13.23     | 11.11     | 11.77     |
| CaO                            | 0.02      | 0.01      | 0.01      | 0.02      | 0.01      | 0.01      | 0.01      | 0.00      | 0.02      | 0.00      |
| Na <sub>2</sub> O              | 0.00      | 0.00      | 0.00      | 0.00      | 0.00      | 0.00      | 0.00      | 0.00      | 0.00      | 0.00      |
| K <sub>2</sub> O               | 0.01      | 0.00      | 0.00      | 0.00      | 0.00      | 0.01      | 0.00      | 0.00      | 0.00      | 0.01      |
| NiO                            | 0.06      | 0.05      | 0.05      | 0.06      | 0.08      | 0.07      | 0.09      | 0.08      | 0.10      | 0.04      |
| Total                          | 98.58     | 98.62     | 98.65     | 99.68     | 98.06     | 98.70     | 98.98     | 98.88     | 97.73     | 98.16     |
| Si                             | 0.017     | 0.015     | 0.015     | 0.115     | 0.015     | 0.010     | 0.005     | 0.010     | 0.056     | 0.010     |
| Ti                             | 0.000     | 0.000     | 0.009     | 0.006     | 0.002     | 0.004     | 0.007     | 0.004     | 0.008     | 0.010     |
| Al                             | 7.513     | 7.222     | 7.058     | 7.113     | 6.829     | 7.078     | 6.831     | 6.789     | 6.230     | 5.750     |
| Cr                             | 8.087     | 8.462     | 8.547     | 8.513     | 8.652     | 8.480     | 8.645     | 8.737     | 9.494     | 9.727     |
| Fe <sup>+3</sup>               | 0.366     | 0.286     | 0.347     | 0.114     | 0.488     | 0.415     | 0.499     | 0.477     | 0.148     | 0.483     |
| Fe <sup>2+</sup>               | 3.140     | 3.273     | 3.184     | 3.399     | 3.017     | 3.142     | 3.059     | 3.097     | 3.768     | 3.486     |
| Mn                             | 0.050     | 0.048     | 0.042     | 0.054     | 0.053     | 0.050     | 0.046     | 0.048     | 0.056     | 0.058     |
| Mg                             | 4.823     | 4.691     | 4.795     | 4.663     | 4.945     | 4.818     | 4.904     | 4.868     | 4.234     | 4.475     |
| Ca                             | 0.005     | 0.003     | 0.003     | 0.005     | 0.003     | 0.003     | 0.003     | 0.000     | 0.005     | 0.000     |
| Na                             | 0.000     | 0.000     | 0.000     | 0.000     | 0.000     | 0.000     | 0.000     | 0.000     | 0.000     | 0.000     |
| K                              | 0.001     | 0.000     | 0.000     | 0.000     | 0.000     | 0.000     | 0.000     | 0.000     | 0.000     | 0.000     |
| Ni                             | 0.002     | 0.006     | 0.005     | 0.005     | 0.007     | 0.007     | 0.007     | 0.007     | 0.015     | 0.005     |
| Total                          | 24.000    | 24.000    | 24.000    | 24.000    | 24.000    | 24.00     | 24.00     | 24.00     | 24.00     | 24.00     |
| Cr#                            | 0.518     | 0.540     | 0.548     | 0.544     | 0.559     | 0.545     | 0.559     | 0.563     | 0.604     | 0.628     |
| Mg#                            | 0.606     | 0.589     | 0.601     | 0.578     | 0.621     | 0.605     | 0.616     | 0.611     | 0.529     | 0.562     |

\*Lz = Lherzolite; Hz = Harzburgite; Du = Dunite; Chr = Chromitite

| Rock type*                     | Hz        | Hz        | Hz        | Hz        | Du       | Du      | Du        | Du        | Du        | Du        |
|--------------------------------|-----------|-----------|-----------|-----------|----------|---------|-----------|-----------|-----------|-----------|
| Sample No.                     | 05-Chr1-3 | 05-Chr2-1 | 05-Chr2-2 | 05-Chr2-3 | 11-Chr1- | 11-Chr1 | 11-Chr1-3 | 11-Chr2-1 | 11-Chr2-2 | 11-Chr3-1 |
| SiO <sub>2</sub>               | 0.04      | 0.02      | 0.20      | 0.05      | 0.02     | 0.01    | 0.01      | 0.13      | 0.09      | 0.04      |
| TiO <sub>2</sub>               | 0.04      | 0.07      | 0.06      | 0.07      | 0.09     | 0.13    | 0.12      | 0.17      | 0.13      | 0.15      |
| Al <sub>2</sub> O <sub>3</sub> | 19.09     | 19.34     | 19.24     | 18.56     | 30.67    | 28.60   | 29.56     | 28.44     | 28.36     | 28.46     |
| Cr <sub>2</sub> O <sub>3</sub> | 48.49     | 48.11     | 47.92     | 48.61     | 37.72    | 39.40   | 38.64     | 40.00     | 40.09     | 38.61     |
| FeO*                           | 18.40     | 18.94     | 19.23     | 18.87     | 15.79    | 16.02   | 15.73     | 15.17     | 16.06     | 16.29     |
| MnO                            | 0.25      | 0.27      | 0.25      | 0.26      | 0.20     | 0.22    | 0.21      | 0.18      | 0.22      | 0.23      |
| MgO                            | 11.44     | 11.55     | 11.46     | 11.57     | 14.44    | 14.37   | 14.20     | 14.60     | 14.58     | 14.46     |
| CaO                            | 0.01      | 0.00      | 0.00      | 0.01      | 0.01     | 0.02    | 0.00      | 0.01      | 0.02      | 0.01      |
| Na <sub>2</sub> O              | 0.00      | 0.00      | 0.00      | 0.00      | 0.00     | 0.00    | 0.00      | 0.00      | 0.00      | 0.00      |
| K <sub>2</sub> O               | 0.00      | 0.00      | 0.01      | 0.00      | 0.00     | 0.00    | 0.00      | 0.00      | 0.00      | 0.00      |
| NiO                            | 0.04      | 0.08      | 0.04      | 0.07      | 0.11     | 0.12    | 0.09      | 0.09      | 0.07      | 0.11      |
| Total                          | 97.79     | 98.38     | 98.42     | 98.08     | 99.07    | 98.91   | 98.56     | 98.82     | 99.63     | 98.34     |
| Si                             | 0.010     | 0.005     | 0.051     | 0.013     | 0.005    | 0.002   | 0.002     | 0.031     | 0.021     | 0.010     |
| Ti                             | 0.008     | 0.013     | 0.011     | 0.013     | 0.016    | 0.023   | 0.022     | 0.031     | 0.023     | 0.027     |
| Al                             | 5.771     | 5.808     | 5.778     | 5.605     | 8.592    | 8.090   | 8.362     | 8.043     | 7.967     | 8.082     |
| Cr                             | 9.833     | 9.692     | 9.654     | 9.847     | 7.089    | 7.477   | 7.333     | 7.589     | 7.555     | 7.355     |
| Fe <sup>+3</sup>               | 0.360     | 0.463     | 0.443     | 0.496     | 0.278    | 0.381   | 0.257     | 0.245     | 0.388     | 0.489     |
| Fe <sup>2+</sup>               | 3.586     | 3.573     | 3.655     | 3.547     | 2.861    | 2.834   | 2.900     | 2.800     | 2.814     | 2.793     |
| Mn                             | 0.054     | 0.058     | 0.054     | 0.056     | 0.040    | 0.045   | 0.043     | 0.037     | 0.044     | 0.047     |
| Mg                             | 4.375     | 4.388     | 4.354     | 4.420     | 5.117    | 5.142   | 5.081     | 5.223     | 5.182     | 5.194     |
| Ca                             | 0.003     | 0.000     | 0.000     | 0.003     | 0.003    | 0.005   | 0.000     | 0.003     | 0.005     | 0.003     |
| Na                             | 0.000     | 0.000     | 0.000     | 0.000     | 0.000    | 0.000   | 0.000     | 0.000     | 0.000     | 0.000     |
| K                              | 0.000     | 0.000     | 0.000     | 0.000     | 0.000    | 0.000   | 0.000     | 0.000     | 0.000     | 0.000     |
| Ni                             | 0.005     | 0.009     | 0.005     | 0.009     | 0.015    | 0.009   | 0.009     | 0.009     | 0.009     | 0.018     |
| Total                          | 24.00     | 24.00     | 24.00     | 24.00     | 24.00    | 24.000  | 24.000    | 24.000    | 24.000    | 24.000    |
| Cr#                            | 0.630     | 0.625     | 0.628     | 0.637     | 0.452    | 0.480   | 0.467     | 0.485     | 0.487     | 0.476     |
| Mg#                            | 0.550     | 0.551     | 0.544     | 0.555     | 0.641    | 0.645   | 0.637     | 0.651     | 0.648     | 0.650     |

\*Lz = Lherzolite; Hz = Harzburgite; Du = Dunite; Chr = Chromitite

| Rock type*                     | Du        | Chr       | Chr       | Chr       | Chr       | Chr       | Chr       | Chr      | Chr       | Chr    |
|--------------------------------|-----------|-----------|-----------|-----------|-----------|-----------|-----------|----------|-----------|--------|
| Sample No.                     | 11-Chr3-2 | 02-Chr1-1 | 02-Chr1-2 | 02-Chr2-1 | 02-Chr2-2 | 02-Chr2-3 | 02-Chr3-1 | 02-Ch3-2 | 02-Chr3-3 |        |
| SiO <sub>2</sub>               | 0.05      | 0.06      | 0.00      | 0.02      | 0.21      | 0.04      | 0.04      | 0.03     | 0.00      | 0.00   |
| TiO <sub>2</sub>               | 0.12      | 0.12      | 0.13      | 0.12      | 0.15      | 0.16      | 0.11      | 0.12     | 0.14      | 0.14   |
| Al <sub>2</sub> O <sub>3</sub> | 28.03     | 18.08     | 17.73     | 19.35     | 19.00     | 19.24     | 19.21     | 19.54    | 19.38     | 19.38  |
| Cr <sub>2</sub> O <sub>3</sub> | 39.76     | 48.76     | 47.90     | 48.82     | 48.60     | 48.79     | 48.66     | 48.55    | 48.74     | 48.74  |
| FeO*                           | 15.88     | 15.87     | 15.60     | 15.64     | 15.60     | 15.72     | 15.19     | 15.48    | 15.80     | 15.80  |
| MnO                            | 0.21      | 0.19      | 0.22      | 0.22      | 0.20      | 0.22      | 0.20      | 0.23     | 0.22      | 0.22   |
| MgO                            | 13.89     | 12.82     | 13.01     | 14.46     | 13.71     | 13.99     | 14.26     | 14.22    | 13.81     | 13.81  |
| CaO                            | 0.01      | 0.01      | 0.01      | 0.01      | 0.00      | 0.01      | 0.00      | 0.01     | 0.02      | 0.02   |
| Na <sub>2</sub> O              | 0.00      | 0.00      | 0.00      | 0.00      | 0.00      | 0.00      | 0.00      | 0.00     | 0.00      | 0.00   |
| K <sub>2</sub> O               | 0.01      | 0.00      | 0.01      | 0.00      | 0.00      | 0.00      | 0.00      | 0.00     | 0.00      | 0.00   |
| NiO                            | 0.11      | 0.07      | 0.08      | 0.11      | 0.11      | 0.08      | 0.10      | 0.11     | 0.10      | 0.10   |
| Total                          | 98.08     | 95.91     | 94.72     | 98.75     | 97.57     | 98.27     | 97.78     | 98.29    | 98.20     | 98.20  |
| Si                             | 0.012     | 0.016     | 0.000     | 0.005     | 0.053     | 0.010     | 0.010     | 0.008    | 0.000     | 0.000  |
| Ti                             | 0.022     | 0.023     | 0.026     | 0.022     | 0.029     | 0.030     | 0.021     | 0.023    | 0.026     | 0.026  |
| Al                             | 8.026     | 5.525     | 5.481     | 5.681     | 5.669     | 5.692     | 5.698     | 5.764    | 5.741     | 5.741  |
| Cr                             | 7.637     | 9.995     | 9.933     | 9.615     | 9.728     | 9.683     | 9.682     | 9.608    | 9.685     | 9.685  |
| Fe <sup>+3</sup>               | 0.269     | 0.402     | 0.535     | 0.650     | 0.439     | 0.545     | 0.559     | 0.568    | 0.521     | 0.521  |
| Fe <sup>2+</sup>               | 2.957     | 3.039     | 2.887     | 2.608     | 2.864     | 2.755     | 2.638     | 2.672    | 2.799     | 2.799  |
| Mn                             | 0.043     | 0.042     | 0.049     | 0.046     | 0.043     | 0.047     | 0.043     | 0.049    | 0.047     | 0.047  |
| Mg                             | 5.031     | 4.956     | 5.087     | 5.370     | 5.175     | 5.236     | 5.350     | 5.307    | 5.175     | 5.175  |
| Ca                             | 0.003     | 0.003     | 0.003     | 0.003     | 0.000     | 0.003     | 0.000     | 0.003    | 0.005     | 0.005  |
| Na                             | 0.000     | 0.000     | 0.000     | 0.000     | 0.000     | 0.000     | 0.000     | 0.000    | 0.000     | 0.000  |
| K                              | 0.000     | 0.000     | 0.000     | 0.000     | 0.000     | 0.000     | 0.000     | 0.000    | 0.000     | 0.000  |
| Ni                             | 0.018     | 0.009     | 0.009     | 0.018     | 0.018     | 0.009     | 0.010     | 0.018    | 0.012     | 0.012  |
| Total                          | 24.000    | 24.000    | 24.000    | 24.000    | 24.000    | 24.000    | 24.000    | 24.000   | 24.000    | 24.000 |
| Cr#                            | 0.488     | 0.644     | 0.644     | 0.629     | 0.632     | 0.63      | 0.630     | 0.625    | 0.628     | 0.628  |
| Mg#                            | 0.630     | 0.620     | 0.638     | 0.673     | 0.644     | 0.655     | 0.670     | 0.665    | 0.649     | 0.649  |

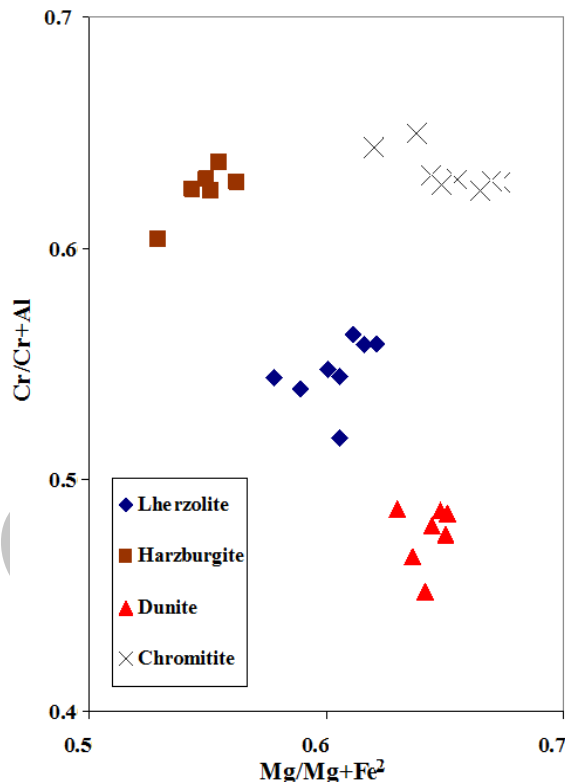
جدول ۸- فرمول ساختمانی میانگین اسپینل‌های لوگر

| Rock type   | Mineral name               | Chemical formula   |
|-------------|----------------------------|--|
| Lherzolite  | Aluminian Magnesiochromite | (Fe <sup>+2</sup> ) <sub>3.2</sub> Mg <sub>4.8</sub> Mn <sub>0.05</sub> )(Cr <sub>8.5</sub> Fe <sup>+3</sup> ) <sub>0.41</sub> Al <sub>7.1</sub> O <sub>32</sub> |
| Harzburgite | Aluminian Magnesiochromite | (Fe <sup>+2</sup> ) <sub>3.6</sub> Mg <sub>4.4</sub> Mn <sub>0.06</sub> )(Cr <sub>9.7</sub> Fe <sup>+3</sup> ) <sub>0.45</sub> Al <sub>5.8</sub> O <sub>32</sub> |
| Dunite      | Chromian Spinel            | (Fe <sup>+2</sup> ) <sub>2.8</sub> Mg <sub>5.1</sub> Mn <sub>0.04</sub> )(Cr <sub>7.4</sub> Fe <sup>+3</sup> ) <sub>0.33</sub> Al <sub>8.2</sub> O <sub>32</sub> |
| Chromitite  | Aluminian Magnesiochromite | (Fe <sup>+2</sup> ) <sub>2.8</sub> Mg <sub>5.2</sub> Mn <sub>0.05</sub> )(Cr <sub>9.7</sub> Fe <sup>+3</sup> ) <sub>0.53</sub> Al <sub>5.7</sub> O <sub>32</sub> |

گوشه لوگر در جدول ۸ آورده شده است. نکته قابل توجه، میزان بالای کاتیون  $\text{Cr}^{+3}$  اسپینل‌ها در واحدهای مختلف سنگی است، که در همه واحدهای سنگی گوشه افیولیت لوگر، بجز دونیت‌ها از میزان  $\text{Al}^{+3}$  آنها بیشتر شده است.

### پتروژنز

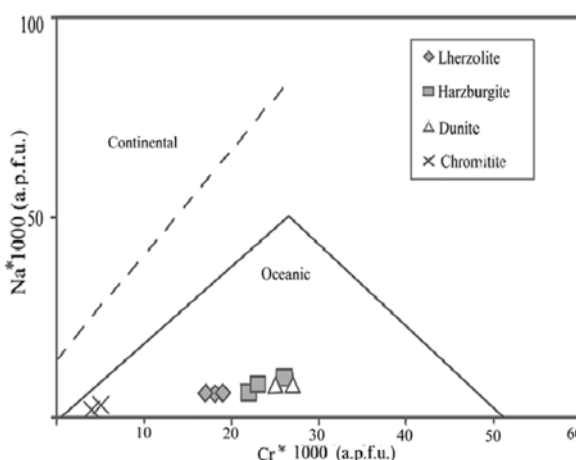
(الف) تعیین منشأ و شرایط تشکیل پریدوتیت‌های گوشه افیولیت لوگر: ترکیب شیمیایی کانی‌های آنالیز شده موجود در پریدوتیت‌های گوشه افیولیت لوگر، برای تشخیص منشأ و شرایط تشکیل، در نمودارهای پتروژنیک بررسی شده است. این نمودارها در تشخیص منشأ و شرایط تشکیل این سنگ‌ها مفیدند. ترکیب اسپینل‌ها و الیوین‌ها برای پی بردن به گوشه‌ای بودن پریدوتیت‌های مورد بررسی، بسیار مؤثر است؛ به طوری که با استفاده از ترکیب اسپینل‌ها می‌توان پریدوتیت‌های گوشه را از پریدوتیت‌های کومولا تفکیک نمود. همچنین، با استفاده از ترکیب کلینوپیروکسن‌ها می‌توان پریدوتیت‌های گوشه زیر پوسته اقیانوسی و زیر پوسته قاره‌ای را از یکدیگر تشخیص داد. اگر محتوای  $\text{Al}_2\text{O}_3$  کانی‌های اسپینل موجود در پریدوتیت‌های لوگر در برابر  $\text{Cr}_2\text{O}_3$  آنها ترسیم شود، پریدوتیت‌های افیولیت لوگر در محدوده پریدوتیت‌های گوشه‌ای قرار می‌گیرند (شکل ۹). محدوده‌های گوناگون مشخص شده در Haggerty, Conrad و Kay (۱۹۸۴)، Kepezhinskas (۱۹۸۸) و همکاران (۱۹۹۵) پیشنهاد شده‌اند.



شکل ۸- تغییرات Cr# در مقابل Mg# اسپینل‌های واحدهای مختلف سنگی و موقعیت آنها

همان‌گونه که مشخص است، مقدار Cr# اسپینل‌ها از لرزولیت به سمت هارزبورزیت افزایش، و از هارزبورزیت به سمت دونیت کاهش می‌یابد. Cr# اسپینل‌های موجود در کرومیتیت‌ها از نظر ترکیب به اسپینل‌های درون هارزبورزیت‌ها شباهت بیشتری دارند. ترکیب و فرمول ساختمانی اسپینل‌های موجود در پریدوتیت‌های گوشه افیولیت لوگر که بر پایه ۳۲ اتم اکسیژن در هر واحد فرمولی محاسبه شده، در جدول ۷ آورده شده است. فرمول ساختاری میانگین اسپینل‌های موجود در واحدهای مختلف سنگی پریدوتیت‌های

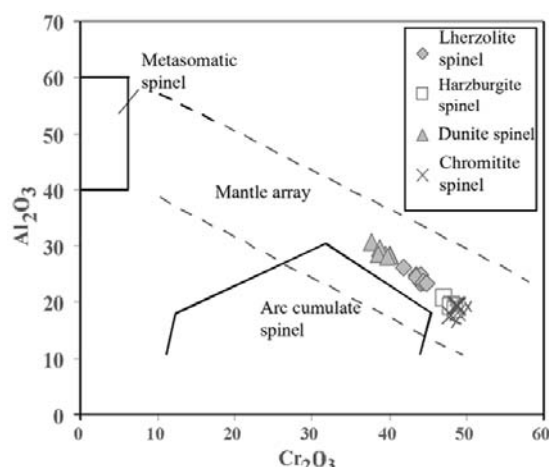
با استفاده از مقدار  $\text{Na}$  و  $\text{Cr}$  واحد ساختاری کلینوپیرکسن‌های موجود در پریدوتیت‌های گوشته افیولیت لوگر مشاهده می‌شود که تمامی پریدوتیت‌های گوشته افیولیت لوگر در محدوده محیط اقیانوسی قرار گرفته‌اند (شکل ۱۱). محدوده‌های مشخص شده در دیاگرام پیشنهاد شده توسط Kornprobst و همکاران (۱۹۸۱) است.



شکل ۱۱- مقدار اتمی کاتیون  $\text{Na}$  کلینوپیرکسن در برابر  $\text{Cr}$  آن در پریدوتیت‌های گوشته افیولیت لوگر (Kornprobst *et al.*, 1981) پریدوتیت‌های افیولیت لوگر در محدوده محیط اقیانوسی قرار می‌گیرند.

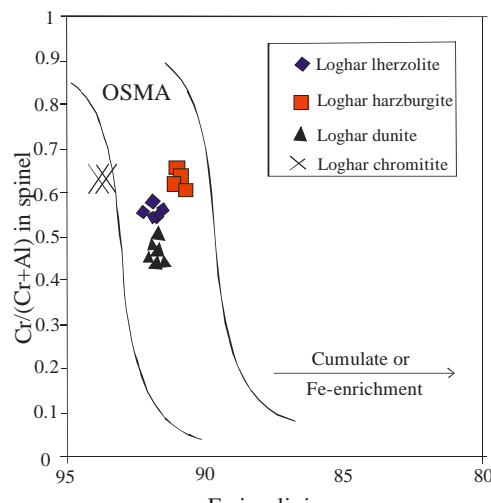
در شکل ۱۲ درجه ذوب‌بخشی به دست آمده از اسپینل بر اساس محاسبات Kawamoto و Hirose (۱۹۹۵) به صورت پیکانی که درجات ذوب بر روی آن مشخص شده ترسیم شده است. بر این اساس درجه ذوب‌بخشی در این سنگ‌ها بیش از ۲۰ درصد بوده است.

با توجه به نتایج حاصل از نمودارها می‌توان بیان کرد که پریدوتیت‌های مورد بررسی در این مطالعه گوشته‌ای و به گوشته زیر پوسته اقیانوسی متعلق هستند.



شکل ۹- مقدار  $\text{Al}_2\text{O}_3$  در برابر  $\text{Cr}_2\text{O}_3$  اسپینل‌های کرومدار پریدوتیت‌های گوشته افیولیت لوگر. همه نمونه‌ها در محدوده گوشته‌ای ترسیم می‌شوند (Conrad and Kay, 1984; Haggerty, 1988; Kepezhinskas *et al.*, 1995)

در دیاگرام شکل ۱۰ مقدار میانگین فورستریت موجود در الیوین‌ها در برابر  $\text{Cr} \#$  اسپینل‌های کرومدار هم‌زیست با آنها نمایش داده شده است. این دیاگرام نیز مانند دیاگرام ۹ گوشته‌ای بودن پریدوتیت‌های افیولیت لوگر را تایید می‌کند.

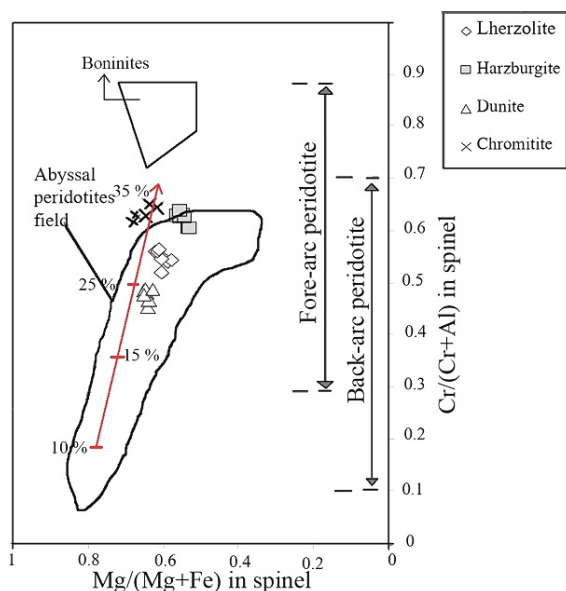


شکل ۱۰- مقدار فورستریت الیوین در برابر  $\text{Cr} \#$  اسپینل کرومدار هم‌زیست با آن نمایش داده شده است (OSMA=olivine – spinel). به تغییرات ترکیبی کانی‌های مذکور در لرزولیت، هارزبورژیت و دونیت و قرارگیری آنها در محدوده پریدوتیت‌های گوشته توجه شود (Arai, 1994).

ذوب‌بخشی وارد مذاب می‌شوند پس محتوای Al و Cr# پریدوتیت‌های لرزولیتی بیشتر از پریدوتیت‌های هارزبورژیتی است. بر اساس مطالعه رفتار اکسیدهای مختلف در پریدوتیت‌های آنالیز شده دیاگرام‌های تغییر عناصر اصلی در برابر Mg# ارتوپیروکسن‌ها (شکل ۱۳) و کلینوپیروکسن‌ها (شکل ۱۴) ترسیم شده‌اند.

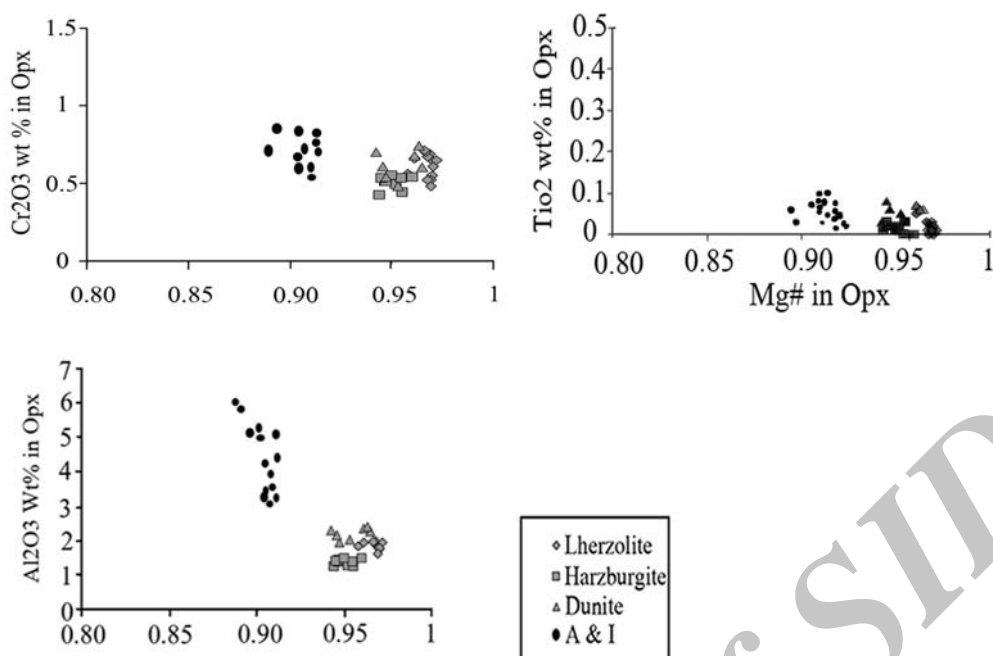
پریدوتیت‌های مرجع از اقیانوس اطلس و هند برای مقایسه آورده شده است (Bonatti *et al.*, 1992; Cannat *et al.*, 1992; Cannat and Seyler, 1995; Johnson and Dick, 1992; Johnson *et al.*, 1990; Cr<sub>2</sub>O<sub>3</sub> - Ross and Elthon, 1997). مقدار محتوی ارتوپیروکسن‌ها و کلینوپیروکسن‌ها در برابر Mg# آنها در پریدوتیت‌های لوگر تقریباً برابر با مقدار این عناصر در پریدوتیت‌های لرزولیتی مرجع است (شکل‌های ۱۳ و ۱۴). Mg# - Al<sub>2</sub>O<sub>3</sub> ارتوپیروکسن‌ها و کلینوپیروکسن‌ها و Mg# - Na<sub>2</sub>O کلینوپیروکسن‌ها پریدوتیت‌های لوگر در مقایسه با پریدوتیت‌های لرزولیتی مرجع کمتر است (شکل‌های ۱۳ و ۱۴).

این مشاهدات نشان می‌دهد که Cr و Ti در پیروکسن‌های واحدهای سنگی گوشه‌ای لوگر به عنوان عناصر ناسازگار عمل نموده‌اند، بنابراین، همه Cr و Ti‌های مواد منشأ وارد مذاب می‌شوند. محتوای کم Al<sub>2</sub>O<sub>3</sub> ارتوپیروکسن‌ها و کلینوپیروکسن‌ها و Na<sub>2</sub>O کلینوپیروکسن‌ها نشان‌دهنده درجه بالای ذوب‌بخشی واحدهای سنگی گوشه‌ای لوگر است.

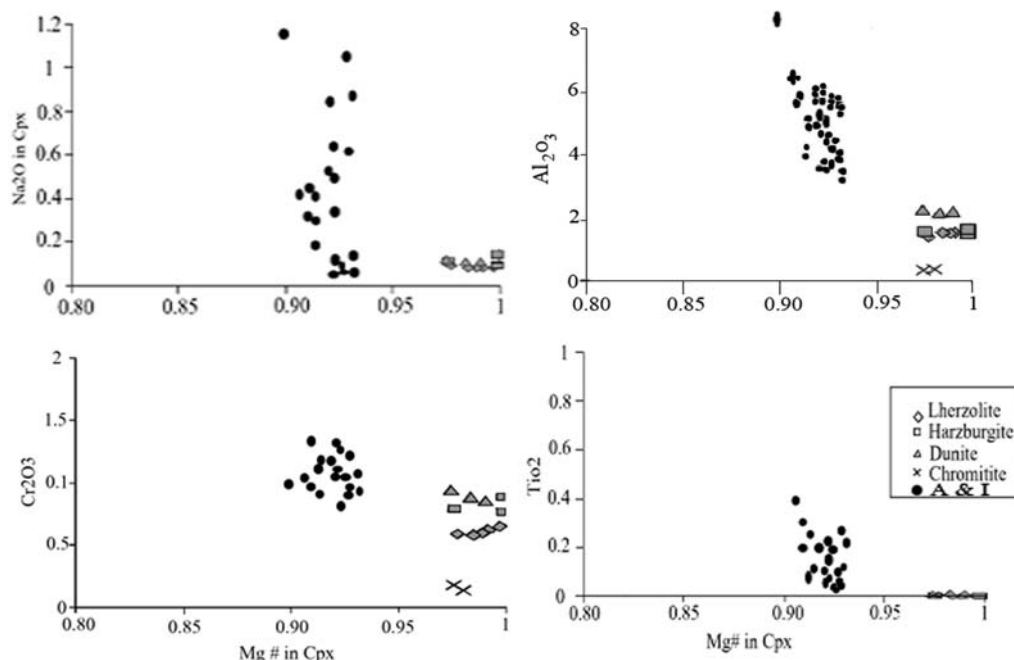


شکل ۱۲ - ترسیم نمونه‌ها سنگی گوشه‌ای لوگر در دیاگرام Cr# در برابر Mg# اسپینل‌های آنها. محدوده آبیسال، جلوی قوس و پشت قوس به ترتیب توسط Roeder و Barnes (۲۰۰۱)، Ishii و همکاران (۱۹۹۲) و Monnier و همکاران (۱۹۹۵) مشخص شده‌اند و محدوده بونینیت از Dick و Bullen (۱۹۸۴) آورده شده است. نماد علامتدار شده نشان‌دهنده درصد ذوب سنگ پریدوتیت میزان بر اساس محاسبات Kawamoto و Hirose (۱۹۹۵) است.

(ب) مطالعه رفتار عناصر سازگار و ناسازگار: مطالعه رفتار عناصر سازگار و ناسازگار در طول ذوب پریدوتیت‌های حاصل از ذوب‌بخشی مقدار ذوب‌بخشی را نشان می‌دهد. Ti و Cr عناصر ناسازگار بوده، حتی در درجات پایین ذوب‌بخشی وارد مذاب می‌شوند؛ بنابراین، انتظار می‌رود که لرزولیت و هارزبورژیت باقیمانده مقدار کمی از این دو عنصر را دارا باشند. Na و Al به عنوان عناصر سازگار عمل می‌کنند و تنها در درجات بالای



شکل ۱۳ - ترسیم  $\text{Cr}_2\text{O}_3$ ,  $\text{Al}_2\text{O}_3$ ,  $\text{TiO}_2$  و  $\text{Al}_2\text{O}_3$  ارتوپیروکسن‌های لوگر در برابر  $\text{Mg}^{\#}$  این کانی‌ها. پریدوتیت‌های مرجع اطلس و هند (A, I) برای مقایسه آورده شده‌اند. ارتوپیروکسن‌های موجود در سنگ‌های گوشته لوگر از لحاظ میزان  $\text{Cr}_2\text{O}_3$  و  $\text{TiO}_2$  با پریدوتیت‌های مرجع واز لحاظ  $\text{Al}_2\text{O}_3$  فقیرتر از آنها هستند (برای توضیحات بیشتر به متن مراجعه شود).



شکل ۱۴ - ترسیم  $\text{Na}_2\text{O}$ ,  $\text{Cr}_2\text{O}_3$ ,  $\text{Al}_2\text{O}_3$ ,  $\text{TiO}_2$  و  $\text{Al}_2\text{O}_3$  کلینوپیروکسن‌های لوگر در برابر  $\text{Mg}^{\#}$  این کانی‌ها. پریدوتیت‌های مرجع اطلس و هند (A, I) برای مقایسه آورده شده‌اند. کلینوپیروکسن‌های سنگ‌های گوشته لوگر نیز کمتر نسبت به پریدوتیت‌های مرجع دارند. میزان  $\text{TiO}_2$  پیروکسن‌های واحدهای سنگی گوشته لوگر این اکسید در پریدوتیت‌های مرجع است (برای توضیحات بیشتر به متن مراجعه شود).

مکان هندسی جریان مذاب تجمع یافته در گوشه در نظر گرفته می‌شوند و کانی‌های موجود در این سنگ، همواره با مذاب صعود کننده واکنش داده، از نظر ترکیب تغییر می‌یابند. برای مقایسه بهتر ویژگی‌های واحدهای مختلف سنگی گوشه افیولیت لوگر، میانگین برخی از پارامترهای اسپینل‌های آنها در جدول ۹ آورده شده است.

(پ) بررسی پارامترهای مختلف در اسپینل‌های واحدهای مختلف سنگی افیولیت لوگر و مقایسه با اسپینل‌های موجود در دونیت، کرومیتیت و گدازه‌های بالشی افیولیت نایین: همان طور که در بخش شیمی کانی‌ها مشخص بود، کانی‌های موجود در دونیت‌ها در بسیاری از رفتارهای شیمیایی از لرزولیت‌ها و هارزبورزیت‌ها تبعیت نمی‌کنند، زیرا دونیت‌ها به عنوان

جدول ۹- میانگین برخی از پارامترهای واحدهای مختلف سنگی گوشه لوگر

| Rock type   | $\text{Cr}_2\text{O}_3(\text{wt}\%)$ | $\text{Al}_2\text{O}_3(\text{wt}\%)$ | $\text{MnO}(\text{wt}\%)$ | $\text{MgO}(\text{wt}\%)$ | $\text{TiO}_2(\text{wt}\%)$ | Cr#  | Mg#   | Fe#   | Fe <sup>+3</sup> # |
|-------------|--------------------------------------|--------------------------------------|---------------------------|---------------------------|-----------------------------|------|-------|-------|--------------------|
| Lherzolite  | 43.75                                | 24.33                                | 0.23                      | 13.12                     | 0.02                        | 54.7 | 0.603 | 0.423 | 0.105              |
| Harzburgite | 48.06                                | 19.34                                | 0.26                      | 11.48                     | 0.06                        | 62.5 | 0.559 | 0.478 | 0.099              |
| Dunite      | 39.17                                | 28.87                                | 0.21                      | 14.36                     | 0.13                        | 47.7 | 0.643 | 0.382 | 0.103              |
| Chromitite  | 48.60                                | 18.94                                | 0.21                      | 13.79                     | 0.13                        | 63.3 | 0.652 | 0.389 | 0.160              |

( $\text{Fe}^{\#} = \text{Fe}^{+2} + \text{Fe}^{+3} / (\text{Fe}^{+2} + \text{Fe}^{+3} + \text{Mg})$ ;  $\text{Fe}^{+3\#} = \text{Fe}^{+3} / (\text{Fe}^{+3} + \text{Fe}^{+2})$ )

بین سایر واحدهای سنگی به خود اختصاص داده‌اند.  $\text{TiO}_2$  اسپینل‌های موجود در واحدهای مختلف سنگی روندی افزایشی از لرزولیت‌ها (متغیر بین ۰/۰۵ - ۰/۰۰) درصد وزنی به سمت هارزبورزیت‌ها (متغیر بین ۰/۰۲ - ۰/۰۰) درصد وزنی)، دونیت‌ها و کرومیتیت‌ها (۰/۰۷ - ۰/۰۱) درصد وزنی)، دونان می‌دهند؛ به طوری که بیشترین مقدار  $\text{TiO}_2$  در دونیت‌ها و کرومیتیت‌ها وجود دارد. مقدار  $\text{MnO}$  اسپینل‌های موجود در لرزولیت‌ها بین ۰/۰۰ درصد وزنی تا ۰/۲۶ درصد وزنی در تغییر است. این مقدار در هارزبورزیت‌ها کمی افزایش می‌یابد (متغیر بین ۰/۰۲۵ - ۰/۰۲۷ درصد وزنی)، ولی در دونیت‌ها (۰/۰۲۳ - ۰/۰۲۰ درصد وزنی) و کرومیتیت‌ها (۰/۰۱۸ - ۰/۰۱۰ درصد وزنی) کاهش می‌یابد. همان گونه که در جدول ۹ هم دیده می‌شود، بعضی از پارامترها مثل  $\text{Mg}^{\#}$ ، مقدار  $\text{MnO}$ ،  $\text{TiO}_2$  و  $\text{Fe}^{\#}$  در اسپینل‌های موجود در دونیت‌ها و کرومیتیت‌ها تقریباً یکسان هستند.

اسپینل‌های موجود در دونیت‌های لوگر رفتار نسبتاً متفاوتی با سایر اسپینل‌های موجود در واحدهای سنگی

درصد وزنی  $\text{Cr}_2\text{O}_3$  کروم اسپینل‌های موجود در لرزولیت‌ها بین ۴۱/۹۰ تا ۴۱/۷۷ متفاوت است؛ در هارزبورزیت‌ها این مقدار افزایش می‌یابد و بین ۴۶/۹۸ تا ۴۸/۶۱ درصد وزنی تغییر می‌کند، در دونیت‌ها و کرومیتیت‌ها نیز به ترتیب بین (۴۰/۰۹ - ۳۷/۷۲) و (۴۸/۸۲ - ۴۷/۹۰) در تغییر است. همان‌طوری که دیده می‌شود، مقدار  $\text{Cr}_2\text{O}_3$  در دونیت‌ها به صورت ناگهانی نسبت به هارزبورزیت‌ها کاهش پیدا می‌کند، و حتی از مقدار  $\text{Cr}_2\text{O}_3$  موجود در لرزولیت‌ها نیز کمتر می‌شود؛ ولی در کرومیتیت‌ها دوباره افزوده می‌شود و این مقدار کمی بیشتر از هارزبورزیت‌ها می‌شود.

مقدار  $\text{Al}_2\text{O}_3$  اسپینل‌های موجود در دونیت‌ها (متغیر بین ۳۰/۶۷ - ۲۸/۰۳ درصد وزنی) نیز از روند کاهشی مقدار  $\text{Al}_2\text{O}_3$  در لرزولیت‌ها (متغیر بین ۲۳/۳۴ - ۲۶/۱۱ درصد وزنی) به سمت هارزبورزیت‌ها (متغیر بین ۱۸/۵۶ - ۲۰/۶۸ درصد وزنی) و به سمت کرومیتیت‌ها (۱۷/۷۳ - ۱۹/۵۴ درصد وزنی) تبعیت کرومیتیت‌ها نمی‌کند و یک افزایش ناگهانی در میزان  $\text{Al}_2\text{O}_3$  موجود در دونیت‌ها مشاهده می‌شود، که بیشترین مقدار را در

بیشترین مقدار  $\text{Al}_2\text{O}_3$  مربوط به اسپینل‌های موجود در پیلولواها (۳۰/۶۲ و ۳۳/۰۲ درصد وزنی) است. مقدار میانگین  $\text{Al}_2\text{O}_3$  اسپینل‌های موجود در دونیت‌های لوگر (۲۸/۸۷ درصد وزنی) کمی بیشتر از مقدار  $\text{Al}_2\text{O}_3$  اسپینل‌های موجود در دونیت‌های نایین (۲۶/۹۲ درصد وزنی) و تقریباً در حد اسپینل‌های موجود در گدازه‌های بالشی نایین - ایران است. کمترین مقدار  $\text{Al}_2\text{O}_3$  در کرومیتیت‌ها دیده می‌شود؛ به طوری که مقدار میانگین  $\text{Al}_2\text{O}_3$  در اسپینل‌های کرومیتیت‌های لوگر و نایین - ایران به ترتیب ۱۸/۹۴ و ۱۳/۷۹ درصد وزنی است.

اسپینل‌های موجود در کرومیتیت‌ها بیشترین مقدار  $\text{Cr}_2\text{O}_3$  را دارا هستند؛ به گونه‌ای که به ترتیب ۵۴/۶۹ و ۴۸/۶۰ درصد وزنی در اسپینل‌های موجود در کرومیتیت‌های نایین و لوگر به دست آمده است.

اسپینل‌های موجود در دونیت لوگر و نایین به ترتیب دارای ۳۹/۱۷ و ۳۶/۱۱ درصد وزنی  $\text{Cr}_2\text{O}_3$  هستند. اسپینل‌های موجود در پیلولواها (۳۲/۰۴ و ۳۵/۳۸ درصد وزنی)، تقریباً در حد اسپینل‌های دونیت‌هاست.

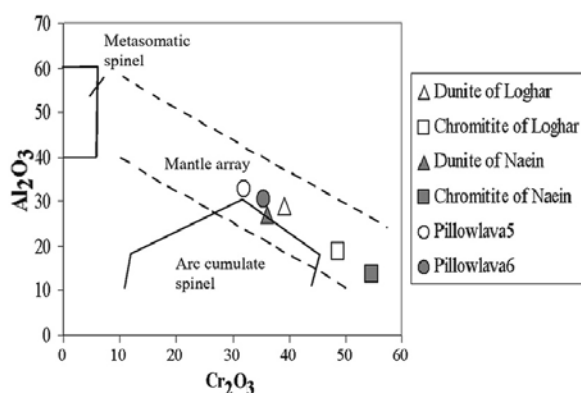
در مقایسه با دیگر واحدهای سنگی، اسپینل‌های موجود در دونیت‌ها و کرومیتیت‌های لوگر دارای کمترین مقدار  $\text{TiO}_2$  (۱۳/۰ درصد وزنی) هستند. این مقدار در کرومیتیت نایین برابر با ۰/۱۶ درصد وزنی و در گدازه‌های بالشی کمی بیشتر (۰/۱۹ و ۰/۲۵ درصد وزنی) است. اسپینل‌های موجود در دونیت‌های نایین دارای بیشترین مقدار  $\text{TiO}_2$  (۰/۴۶ درصد وزنی) هستند.

کمترین مقدار  $\text{Mg}^{\#}$  مربوط به اسپینل‌های قرار گرفته در دونیت‌های نایین (۰/۵۲) است.  $\text{Mg}^{\#}$  اسپینل‌های موجود در دونیت و کرومیتیت لوگر به

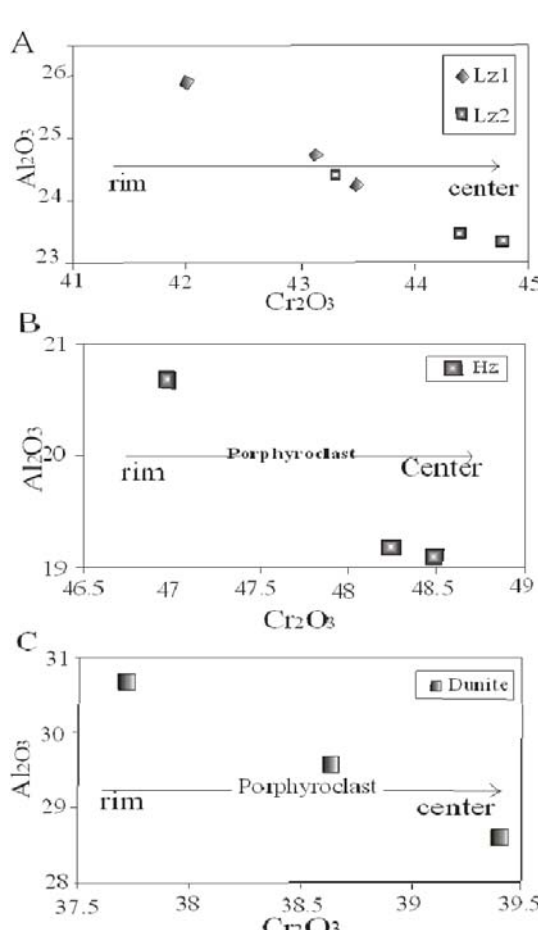
گوشه نشان می‌دهند. دونیت‌ها به عنوان مکان هندسی جریان مذاب تجمع یافته در نظر گرفته می‌شوند و کانی‌های موجود در این سنگ، همواره با مذاب صعود کننده واکنش داده، از نظر ترکیب تغییر می‌یابند و ترکیبی شبیه به مذاب صعود کننده پیدا می‌کند. مذاب‌های صعود کننده، پریدوتیت‌های لایه ای، گابروها، دایک‌های دلریت - دیابازی و گدازه‌های بالشی را تشکیل می‌دهند. برای درک بهتر، میانگین داده‌های مربوط به کروم اسپینل‌های موجود در دونیت‌ها و با کروم اسپینل‌های موجود در دونیت‌ها و کرومیتیت‌های افیولیت نایین (پیرنیا، ۱۳۸۶) و اسپینل‌های موجود در گدازه‌های بالشی افیولیت نایین (ترابی و همکاران، ۱۳۸۷) در جدول ۱۰ آورده شده است.

جدول ۱۰ - میانگین نتایج آنالیزهای دونیت و کرومیتیت لوگر (نمونه‌های ۱ و ۲)، دونیت و کرومیتیت نایین (نمونه‌های ۳ و ۴ از پیرنیا، ۱۳۸۶) و اسپینل‌های موجود در پیلولواها (نمونه‌های ۵ و ۶ از ترابی و همکاران، ۱۳۸۷).

| Sample                  | Dunit<br>e | Chromitit<br>e | Dunit<br>e | Chromitit<br>e | Pillow<br>lava | Pillow<br>lava |
|-------------------------|------------|----------------|------------|----------------|----------------|----------------|
| Numbe<br>r              | 1          | 2              | 3          | 4              | 5              | 6              |
| $\text{SiO}_2$          | 0.05       | 0.05           | 0.01       | 0.01           | 0.17           | 0.07           |
| $\text{TiO}_2$          | 0.13       | 0.13           | 0.46       | 0.16           | 0.19           | 0.25           |
| $\text{Al}_2\text{O}_3$ | 28.87      | 18.94          | 26.92      | 13.79          | 33.02          | 30.62          |
| $\text{Cr}_2\text{O}_3$ | 39.17      | 48.60          | 36.11      | 54.69          | 32.04          | 35.38          |
| $\text{FeO}^*$          | 16.09      | 15.89          | 24.07      | 15.24          | 15.72          | 14.78          |
| $\text{MnO}$            | 0.21       | 0.21           | 0.30       | 0.23           | 0.20           | 0.13           |
| $\text{MgO}$            | 14.36      | 13.79          | 12.02      | 14.98          | 16.48          | 16.46          |
| $\text{CaO}$            | 0.01       | 0.01           | 0.00       | 0.01           | 0.14           | 0.04           |
| Total                   | 98.84      | 97.62          | 99.88      | 99.11          | 97.97          | 97.73          |
| Si                      | 0.012      | 0.013          | 0.002      | 0.002          | 0.040          | 0.016          |
| Ti                      | 0.023      | 0.025          | 0.085      | 0.032          | 0.034          | 0.044          |
| Al                      | 8.166      | 5.656          | 7.736      | 4.125          | 9.136          | 8.568          |
| Cr                      | 7.433      | 9.741          | 6.962      | 10.977         | 5.947          | 6.644          |
| $\text{Fe}^{+3}$        | 0.336      | 0.527          | 1.128      | 0.83           | 0.771          | 0.667          |
| $\text{Fe}^{+2}$        | 2.851      | 2.783          | 3.656      | 2.312          | 2.231          | 2.194          |
| Mn                      | 0.043      | 0.046          | 0.062      | 0.050          | 0.040          | 0.026          |
| Mg                      | 5.139      | 5.207          | 4.369      | 5.670          | 5.768          | 5.829          |
| Ca                      | 0.003      | 0.002          | 0.001      | 0.002          | 0.035          | 0.011          |
| Total                   | 24.000     | 24.000         | 24.000     | 24.000         | 24.00          | 24.00          |
|                         |            |                |            |                | 0              | 0              |
| $\text{Cr}^{\#}$        | 0.477      | 0.633          | 0.47       | 0.73           | 0.394          | 0.436          |
| $\text{Mg}^{\#}$        | 0.643      | 0.652          | 0.52       | 0.708          | 0.721          | 0.726          |
| $\text{Fe}^{\#}$        | 0.382      | 0.389          | 0.544      | 0.36           | 0.342          | 0.329          |



شکل ۱۵- ترسیم  $\text{Al}_2\text{O}_3$  در برابر  $\text{Cr}_2\text{O}_3$  اسپینل‌های موجود در دونیت و کرومیت افیولیت‌های لوگر و نایین و اسپینل‌های گدازه‌های بالشی، برای تشخیص منشأ اسپینل. همه نمونه‌ها در محدوده گوشته‌ای ترسیم می‌شوند، (Conrad and Kay, 1984; Haggerty, 1988; Kepezhinskas *et al.*, 1995)



شکل ۱۶- نمایش تغییرات مقدار  $\text{Al}_2\text{O}_3$  و  $\text{Cr}_2\text{O}_3$  بر اساس درصد وزنی، از سمت حاشیه به سمت مرکز در اسپینل‌های کرومودار موجود در (A) لرزولیت، (B) هارزبورژیت و (C) دونیت لوگر (Lz = Lherzolite, Hz = Harzburgite)

ترتیب ۰/۶۴۳ و ۰/۶۵۲ محسوبه شده است که بیشتر از  $\text{Mg}^{\#}$  اسپینل‌های دونیت نایین (۰/۵۲) و کمتر از اسپینل‌های کرومیت نایین (۰/۷۰۸) هستند.  $\text{Mg}^{\#}$  اسپینل‌های تشکیل شده در پیلولاواها ۰/۷۲۶ و ۰/۷۲۱ محسوبه شده است که در حد  $\text{Mg}^{\#}$  اسپینل کرومیت نایین هستند. اگر این واحدهای مختلف سنگی در دیاگرام  $\text{Cr}_2\text{O}_3$  در مقابل  $\text{Al}_2\text{O}_3$  ترسیم شوند، این نمونه‌ها در محدوده گوشته قرار می‌گیرند. محدوده‌های رسم شده در این دیاگرام توسط Conrad و Kay (۱۹۸۴)، Kepezhinskas (۱۹۹۵) تعیین شده‌اند. اسپینل‌های دونیت‌ها از نظر مقدار  $\text{Al}_2\text{O}_3$  و  $\text{Cr}_2\text{O}_3$  بسیار به اسپینل‌های آنالیز شده در گدازه‌های بالشی نایین شبیه هستند (شکل ۱۵). اگرچه اسپینل‌های دونیت نایین مقدار  $\text{TiO}_2$  کمتر و  $\text{Mg}^{\#}$  بیشتر دارند، ولی در قیاس با اسپینل‌های پیلولاواها، بیشتر با اسپینل‌های موجود در دونیت نایین شباهت دارند (شکل ۱۵). با توجه به مطالعات و نتایج بهدهشت آمده می‌توان نتیجه گرفت که منشأ اسپینل‌های موجود در دونیت‌های لوگر گوشته بوده و این اسپینل‌ها از لحاظ رفتار و ویژگی‌های شیمیایی به اسپینل‌های دونیت و گدازه‌های بالشی نایین شبیه هستند و با اسپینل‌های موجود در پیلولاواها نسبت به اسپینل‌های موجود در لرزولیت‌ها و هارزبورژیت‌ها هم خوانی بیشتری دارند.

(ت) تغییرات  $\text{Cr}_2\text{O}_3$  و  $\text{Al}_2\text{O}_3$  در اسپینل‌های واحدهای مختلف سنگی گوشته لوگر: در شکل ۱۶ تغییرات میزان  $\text{Al}_2\text{O}_3$  و  $\text{Cr}_2\text{O}_3$  از حاشیه به سمت مرکز اسپینل‌ها در واحدهای سنگی گوشته لوگر نشان داده شده است.

متغیرهای معادله‌های (۱) و (۲) و اکتیویته کلینوپیروکسن و ارتوبیروکسن به صورت زیر تعریف می‌شوند:

$$a_{Mg_2Si_2O_6}^{cpx} = \left( X_{Mg}^{M_2} \cdot M_1 \right)_{cpx}$$

$$a_{Mg_2Si_2O_6}^{opx} = \left( X_{Mg}^{M_2} \cdot M_1 \right)_{opx}$$

$$X_{Fe}^{opx} = \frac{Fe^{+2}}{Fe^{+2} + Mg^{+2}}$$

دهماهی به دست آمده با استفاده از فرمول ارائه شده توسط Wood و Banno (۱۹۷۳) برای نمونه‌های لرزولیت، هارزبورزیت و دونیت به ترتیب ۱۰۳۰، ۱۰۳۴ و ۱۰۷۹ درجه سانتی‌گراد و با روش Wells (۱۹۷۷) به ترتیب دماهای ۹۶۸، ۹۲۳ و ۹۱۴ درجه سانتی‌گراد محاسبه شده است (جدول ۱۱).

جدول ۱۱- فشار و دماهای محاسبه شده برای لرزولیت، هارزبورزیت و دونیت‌های موجود در پریدوتیت‌های گوشته افیولیت لوگر با استفاده از فشارسنجی و دماسنجدی‌های ذکر شده در متن.

|             | Cpx-Opx Geothermometers<br>(°C) | Cpx Barometer<br>(kbar) |
|-------------|---------------------------------|-------------------------|
| Methods*    | WB                              | W                       |
| Lherzolite  | 1030                            | 914                     |
| Lherzolite  | 1051                            | 935                     |
| Harzburgite | 1034                            | 923                     |
| Dunite      | 1079                            | 968                     |

\* WB = Wood and Banno (1973), W = Wells (1977), NT = Nimis and Taylor (2000)

از محتوای Cr و K موجود در پیروکسن‌ها برای تعیین فشار حاکم بر پریدوتیت‌های گوشته افیولیت لوگر بطبق روش Nimis و Taylor (۲۰۰۰) استفاده شده است. یکی از دلایل استفاده از معادله فشار شماره ۳ این است که، این روش دارای وابستگی دمایی (°C) ۵۰ - ۲/۴ kbar/ ۱/۲ - ۲/۴ kbar/ ۵۰ سنجی‌های رایج بر پایه محتوای Al در ارتوبیروکسن (۳-۳ kbar/ ۵۰ °C) است.

در بررسی آنالیز نقطه‌ای اسپینل‌های موجود در پریدوتیت‌های گوشته لوگر از حاشیه اسپینل‌های کروم‌دار به سمت مرکز روندی افزایشی برای  $Cr_2O_3$  و روندی کاهشی برای  $Al_2O_3$  مشاهده می‌شود. وجود این زونینگ در اسپینل‌ها می‌تواند به علت تغییر ترکیب مداوم مذاب صعود کننده بر اثر واکنش‌های سنگ دیواره و مذاب صعود کننده بازالتی باشد (شکل ۱۶).

### دماسنجدی، فشارسنجی پریدوتیت‌های گوشته افیولیت لوگر

برای به دست آوردن شرایط حرارت و فشار واحدهای سنگی پریدوتیت گوشته لوگر ترکیب شیمیایی کانی‌های مافیک استفاده شدند. با استفاده از دماسنجدی زوج کانی کلینوپیروکسن - ارتوبیروکسن (Wood and Banno, 1973; Wells, 1977) که شرایط همزیستی مساعدی را در پریدوتیت‌های گوشته از خود نشان می‌دهند، شرایط دما و فشار حاکم بر پریدوتیت‌های گوشته افیولیت لوگر محاسبه شد. از دماسنجدی دو پیروکسن بر اساس معادله‌های ۱ و ۲ برای تعیین دمای تبلور لرزولیت‌ها، هارزبورزیت‌ها و دونیت‌های گوشته افیولیت لوگر استفاده شده است (جدول ۱۱). فرمول ارائه شده Wood و Banno (۱۹۷۳) چنین است:

معادله ۱:

$$T_c = \frac{-10202}{\ln\left(\frac{a_{Mg_2Si_2O_6}^{cpx}}{a_{Mg_2Si_2O_6}^{opx}}\right) - 7.65X_{Fe}^{opx} + 3.88(X_{Fe}^{opx})^2 - 4.6} - 273.15$$

فرمول (۲) را پیشنهاد کرده است:

معادله ۲:

$$T_c = \frac{7341}{3.355 + 2.44 \cdot X_{Fe}^{OPX} - \ln K} - 273.15$$

اليوین‌های موجود در لرزولیت، هارزبورژیت و دونیت‌های پریدوتیت‌های گوشه افیولیت لوگر، آذرینی و اولیه نبوده بلکه اليوین‌های ریز دانه جایگزینی حاصل از ذوب نامتجانس ارتوپیروکسن‌ها هستند. بر اساس مطالعات صورت گرفته بر روی پریدوتیت‌های گوشه افیولیت لوگر می‌توان گفت که پریدوتیت‌های مورد بررسی گوشه‌ای و به گوشه زیر پوسته اقیانوسی مربوط هستند. محتوای کم  $\text{Al}_2\text{O}_3$  ارتوپیروکسن‌ها و کلینوپیروکسن‌ها و  $\text{Na}_2\text{O}$  کلینوپیروکسن‌ها نشان‌دهنده درجه بالای ذوب‌بخشی واحدهای سنگی گوشه‌های لوگر است. دماسنجدی زوج کانی کلینوپیروکسن - ارتوپیروکسن برای لرزولیت، هارزبورژیت و دونیت با استفاده از فرمول ارائه شده توسط Banno و Wood (۱۹۷۳) به ترتیب  $1030^{\circ}\text{C}$ ,  $1034^{\circ}\text{C}$  و  $1079^{\circ}\text{C}$  درجه سانتی‌گراد و با روش Wells (۱۹۷۷) به ترتیب دماهای  $914^{\circ}\text{C}$ ,  $923^{\circ}\text{C}$  و  $968^{\circ}\text{C}$  درجه سانتی‌گراد را نشان می‌دهد. فشار به دست آمده از روش ارائه شده توسط Nimis و Taylor (۲۰۰۰) برای لرزولیت  $27 \pm 2/4$  کیلوبار، برای هارزبورژیت  $29 \pm 2/4$  کیلوبار و برای دونیت‌ها  $26 \pm 2/4$  محاسبه شده است.

معادله ۳:

$$P(kbar) = -\frac{T(K)}{126.9} \cdot \ln[a_{CaCrTs}^{Cpx}] + 15.483 \cdot \ln\left(\frac{Cr\#^{Cpx}}{T(K)}\right) + \frac{T(K)}{71.38} + 107.8$$

$$a_{CaCrTs}^{Cpx} = Cr - 0.81 \cdot Cr\#(Na + K)$$

$$Cr\# = \left( \frac{Cr}{Cr + Al} \right)$$

فشار به دست آمده برای لرزولیت بدین ترتیب  $2/4 \pm 2/4$  کیلوبار، برای هارزبورژیت  $29 \pm 2/4$  کیلوبار و برای دونیت‌ها  $26 \pm 2/4$  است (جدول ۱۱).

### نتیجه‌گیری

مشاهدات پتروگرافی نشان می‌دهد که در لرزولیت، هارزبورژیت و دونیت‌های گوشه افیولیت لوگر، ارتوپیروکسن و کلینوپیروکسن‌ها زودتر از کانی‌های الیوین و اسپینل تشکیل شده‌اند، و در کرومیتیت‌ها تبلور همزمان الیوین و اسپینل‌های کروم‌دار دیده می‌شود.

کروم اسپینل‌های موجود در لرزولیت‌ها، ورمیکولار، بی‌شکل با اندازه‌های کوچک هستند، در هارزبورژیت نیمه شکل دار، بزرگ‌تر و کمی تیره‌تر می‌شوند و در دونیت‌ها خودشکل‌تر و تیره‌تر از هارزبورژیت‌ها می‌شوند.

### منابع

- پیرنیا، ت. (۱۳۸۶) پترولوزی پریدوتیت‌های گوشه افیولیت نایین. پایان‌نامه کارشناسی ارشد پترولوزی، گروه زمین‌شناسی دانشگاه اصفهان، اصفهان، ایران.
- ترابی، ق.، عبدالهی، ا.، شیردشت‌زاده، ن. (۱۳۷۸) استفاده از آنالیز کانی‌ها و سنگ کل در تشخیص پتروژئن‌گذارهای بالشی افیولیت نایین. مجله بلورشناسی و کانی‌شناسی ایران، ۱۶(۲): ۲۹۵ - ۳۱۲.
- موسی‌زی، ا. م. (۱۳۷۳) تحقیق پیرامون اولترابازیت‌های افغانستان و منیرالیزاسیون صنعتی آنها. پایان‌نامه علمی - تحقیقاتی دکتری، وزارت تحصیلات عالی افغانستان، کابل، افغانستان.
- Arai, S. (1994) Characterization of spinel peridotites by olivine-spinel compositional relationships, Review and Interpretation. Chemical Geology 113: 191-204.
- Barnes, S. J. and Roeder, P. L. (2001) The range of spinel composition in terrestrial mafic and ultramafic rocks. Journal of Petrology 42: 2279-2302.

- Bonatti, E., Peyve, A., Kepzhinshinkas, P., Kurentsova, N., Seyler, M., Skolotnev, S. and Udintnev, G. (1992) Upper mantle heterogeneity below the Mid-Atlantic Ridges, 0–15°N. *Journal of Geophysical Research* 97: 4461–4476.
- Cannat, M. and Seyler, M. (1995) Transform tectonics metamorphic plagioclase and amphibolitization in ultramafic rocks of the Vema transform fault (Atlantic Ocean). *Earth and Planetary Science Letters* 133: 283–298.
- Cannat, M., Bideau, D. and Bougault, H. (1992) Serpentized peridotites and gabbros in the Mid-Atlantic Ridge axial valley at 15°37'N and 16°52'N. *Earth and Planetary Science Letters* 109: 87–106.
- Conrad, W. K. and Kay, R. W. (1984) Ultramafic and mafic inclusions from Adak Island: Crystallization history and implications for the nature of primary magmas and crustal evolution in the Aleutian arc. *Journal of Petrology* 25: 88–125.
- Constantin, M., Hekinian, R., Ackermann, D. and Stoffers, P. (1995) Mafic and ultramafic intrusions into upper mantle peridotites from fast spreading centers of the Easter Microplate (South east Pasific). In: R. L. M., Vissers and A., Nicolas (Eds.): *Mantle and Lower Crust Exposed in Oceanic Ridges and Ophiolites*. Dordrecht, The Netherlands, Kluwer 71–120.
- Dick, H. J. B. and Bullen, T. (1984) Chromian spinel as a petrogenetic indicator in abyssal and Alpine-type peridotites and spatially associated lavas. *Contributions to Mineralogy and Petrology* 86: 54–76.
- Droop, G. T. R. (1987) A general equation for estimating  $\text{Fe}^{+3}$  concentration in ferromagnesian silicates and oxides from microprobe analyses, using stoichiometric criteria. *Mineralogical Magazine* 51: 431–435.
- Edzbroshikov, E. M., Dronikov, V. C. and Billan, E. K. (1974) Ore mineral and geological structure of south and south west of Afghanistan (Parts of 500 III, IV, 700 – I, 600 – II, IV Sheet maps), Kabul. D. G. R. P. E. Institute.
- Haggerty, S. E. (1988) Upper mantle opaque mineral stratigraphy and the genesis of metasomatites and alkali-rich melts. *Journal of Geological Society of Australia* 14: 687–699.
- Hirose, K. and Kawamoto, T. (1995) Hydrous partial melting of lherzolite at 1 Gpa: effect of  $\text{H}_2\text{O}$  on the genesis of basaltic magmas. *Earth and Planetary Science Letters* 133: 463–473.
- Ishii, T., Robinson, P. T., Maekawa, H. and Fiske, M. (1992) Petrological studies of peridotites from diapiric serpentinite seamounts in Izu-Ogazawara-Mariana forearc, Leg 125. In: P., Fryer, J. A., Pearce and L. B., Stocking (Eds.): *Proceedings of the Ocean Drilling Program. Scientific Results* 125, College station, Texas 445–485.
- Johnson, K. T. M. and Dick, H. J. B. (1992) Open system melting and temporal spatial variation of peridotite and basalt at the Atlantis II Fracture Zone. *Journal of Geophysical Research* 97: 9219–9241.
- Johnson, K. T. M., Dick, H. J. B. and Shimizu, N. (1990) Melting in the oceanic upper mantle: an ion microprobe study of diopside in abyssal peridotites. *Journal of Geophysical Research* 95: 2661–2678.
- Kepezhinskis, P. K., Defant, M. J. and Drummond, M. S. (1995) Na metasomatism in the island-arc mantle by slab melt-peridotite interaction: evidence from mantle xenoliths in the North Kamchatka arc. *Journal of Petrology* 36: 1505–1527.
- Klootwijk, C. T. (1979) A review of Paleomagnetic data from the Indo-Pakistani fragment of Gondwanaland. In: A., Farah and K. A., DeJong (Eds.): *Geodynamic of Pakistan. Geological Survey of Pakistan* 41–80.
- Kornprobst, J., Ohnenstetter, D. and Ohnenstetter, M. (1981) Na and Cr contents in Cpx from peridotites: a possible discriminant between sub-continental and sub-oceanic mantle. *Earth and Planetary Science Letters* 53: 241–254.
- Kretz, R. (1983) Symbols for rock-forming minerals. *American Mineralogist* 68: 227–279.

- Maurel, C. and Maurel, P. (1982) Étude expérimentale de la distribution de l'aluminium entre bain silicate basique et spinelle chromifère. Implications pétrogénétiques: teneur en chrome des spinelles. *Bulletin de Minéralogie* 105: 197-202.
- Miyashiro, A. (1975) Classification, characteristics and origin of ophiolites. *Geology* 83: 249-281.
- Monnier, C., Girardeau, J., Maury R. and Cotton, J. (1995) Back-arc basin origin for the East Sulawesi ophiolite (eastern Indonesia). *Geology* 23: 851-854.
- Morimoto, N. (1989) Nomenclature of pyroxenes. *Canadian Mineralogist* 27: 143-156.
- Nimis, P. and Taylor, W. R. (2000) Single clinopyroxene thermobarometry for garnet peridotites Part I. Calibration and testing of a Cr-in-Cpx barometer and an enstatite-in-Cpx thermometer. *Contributions of Mineralogy and Petrology* 139: 541-554.
- Pearce, J. A., Lippard, S. J. and Roberts, S. (1984) Characteristics and tectonic significance of supra-subduction zone ophiolites. In: B. P., Kokelaarand M. F., Howells (Eds): *Marginal Basin Geology*. Geological Society of London Special Publication 16: 77-96.
- Ross, K. and Elthon, D. (1997) Extreme incompatible trace-element depletion of diopside in residual mantle from south of the Kane fracture Zone. In: J. A., Karson, M., Cannat, D. J., Miller and D., Elthon (Eds.): *Proceedings of the Ocean Drilling Project Scientific Results* 153. ODP, College Station, TX 277-284.
- Schindler, S. J. (2002) Afghanistan, Geology in a troubled land. *Geo times* 14 -18.
- Shareq, A., Voinov, V. N., Nevretdinov, E. B., Kubatkin, L. V. and Gusav, I. A. (1980) The Logar ultrabasite massif and its reflection in the magnetic field (east Afghanistan). *Tectonophysics* 62: 1-5.
- Tappognier, P. and Molnar, P. (1976) Slip-line field theory and large-scale continental tectonics. *Nature* 264: 319-324.
- Tappognier, P., Mattauer, M., Proust, F. and Cassaigneau, C. (1981) Mesozoic ophiolites, sutures, and large scale tectonic movement in Afghanistan. *Earth and Planetary Science Letters* 52: 355-371.
- Wells, P. R. A. (1977) Pyroxene thermometry in simple and complex systems. *Contributions to Mineralogy and Petrology* 62: 129-139.
- Wood, B. J. and Banno, S. (1973) Garnet-Orthopyroxene and Orthopyroxene-Clinopyroxene Relationships in Simple and Complex Systems. *Contributions to Mineralogy and Petrology* 42: 109-124.

## Mineral chemistry of mantle peridotites from Loghar ophiolite (Southwest of Kabul - Afghanistan)

Gholamhossein Nazari, Ghodrat Torabi \* and Mahmoud Khalili

Department of Geology, Faculty of Science, University of Isfahan, Isfahan, Iran

### Abstract

The Loghar ophiolite is located in ophiolitic belt of Kabul block (southeast of Afghanistan) and it is a part of Neotethyan ophiolites in Alpine - Himalayan orogenic system with Eocene age. Olivine, orthopyroxene, clinopyroxene and spinel are rock forming minerals of Loghar ophiolite mantle peridotite. Most of the olivines from different rock types are serpentinized but some fresh are present with forsterite composition. Orthopyroxene and clinopyroxene are enstatite ( $Mg\#$  0.961-0.972) and diopside ( $Mg\#$  0.976-0.999) in composition. The Cr# of vermicular and unhedral spinels of lherzolite and subhedral reddish brown spinels of harzburgite are 0.547 and 0.625 respectively. The Cr# of subhedral to euhedral spinels of dunite is 0.477, induced by high content of  $Al_2O_3$  and low level of  $Cr_2O_3$ . The Cr# of dark red and euhedral spinel of chromitite is 0.633. The peridotites of the studied area belong to sub-oceanic crust mantle. The low content of  $Al_2O_3$  in pyroxenes (opx and cpx) and the low amount of  $Na_2O$  in clinopyroxene indicate high degree of partial melting of mantle peridotites. The chemical composition of minerals in dunites are different from that of lherzolite and harzburgite but present considerable similarity with that of the pillow lavas. The dunites of Loghar mantle peridotite (LMP) do not share features with those derived by partial meltiny, but represent sub lithospheric melt channels.

**Key words:** Loghar ophiolite, Mantle peridotite, Eocene, Afghanistan

---

\* torabighodrat@yahoo.com